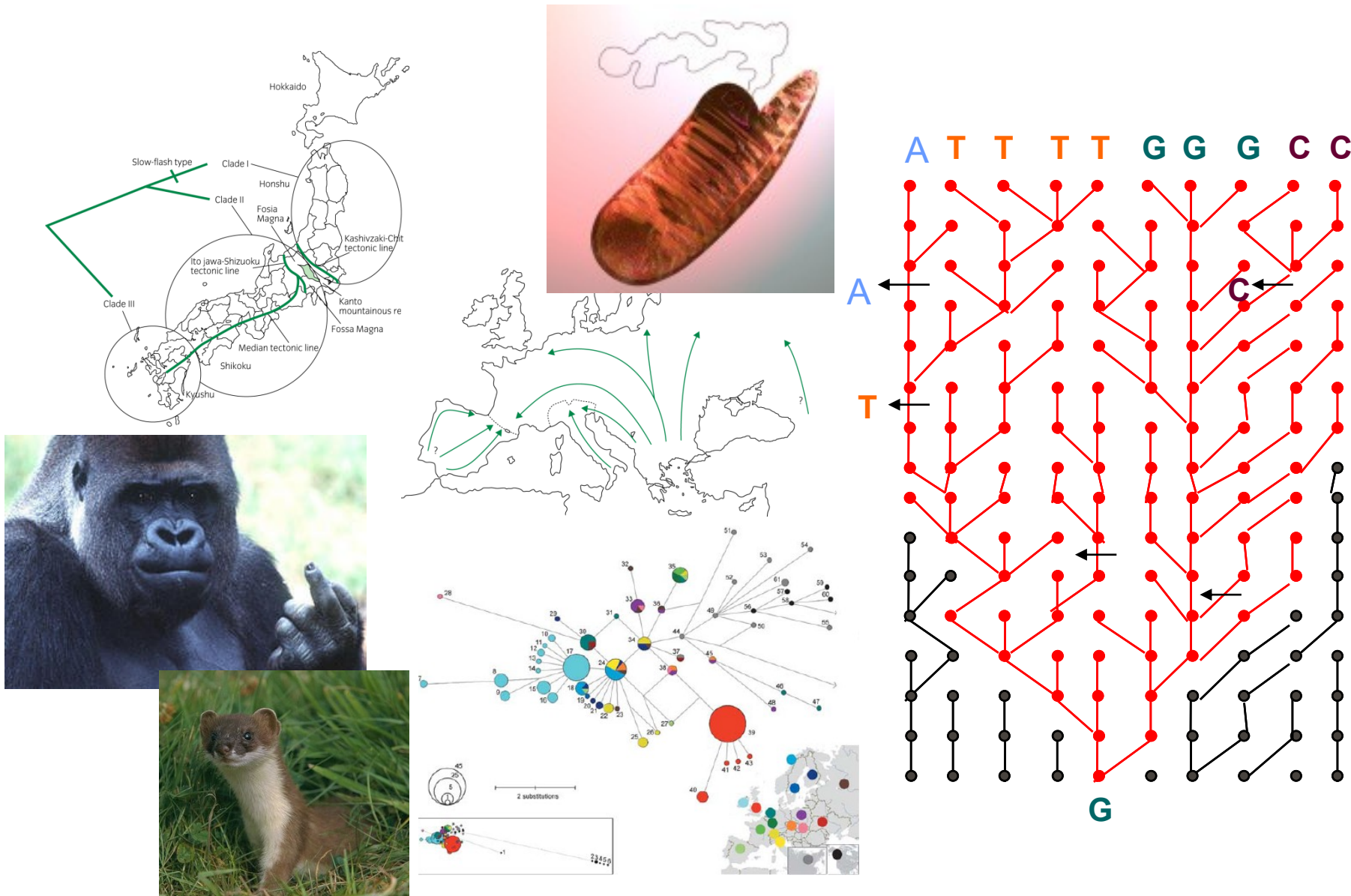
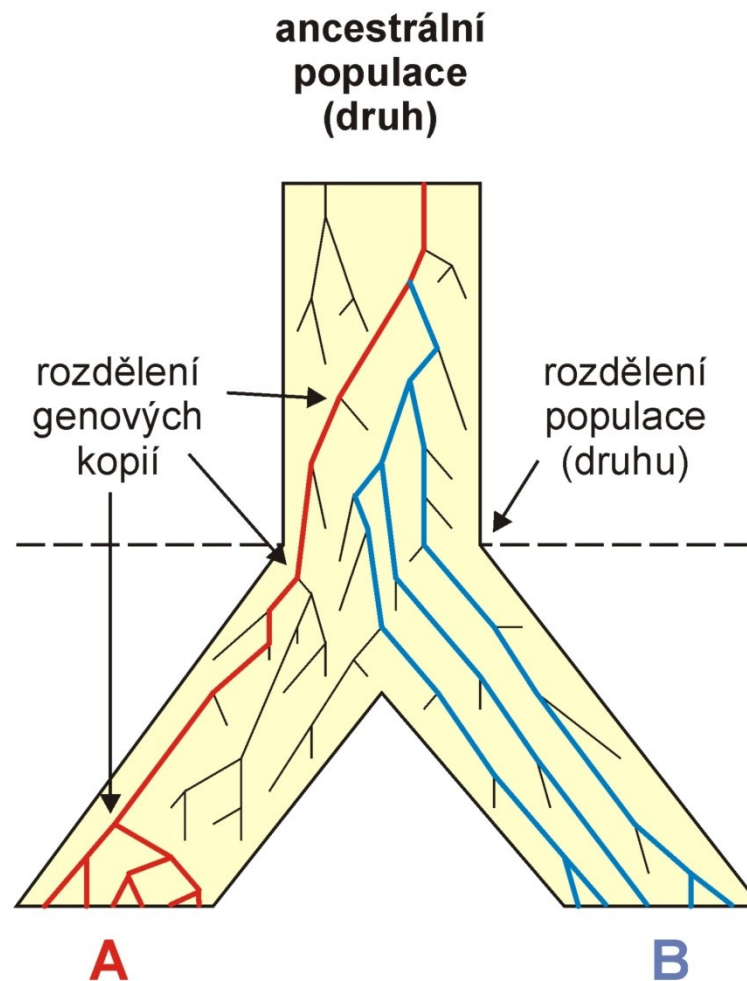


FYLOGEOGRAFIE A KOALESCENCE

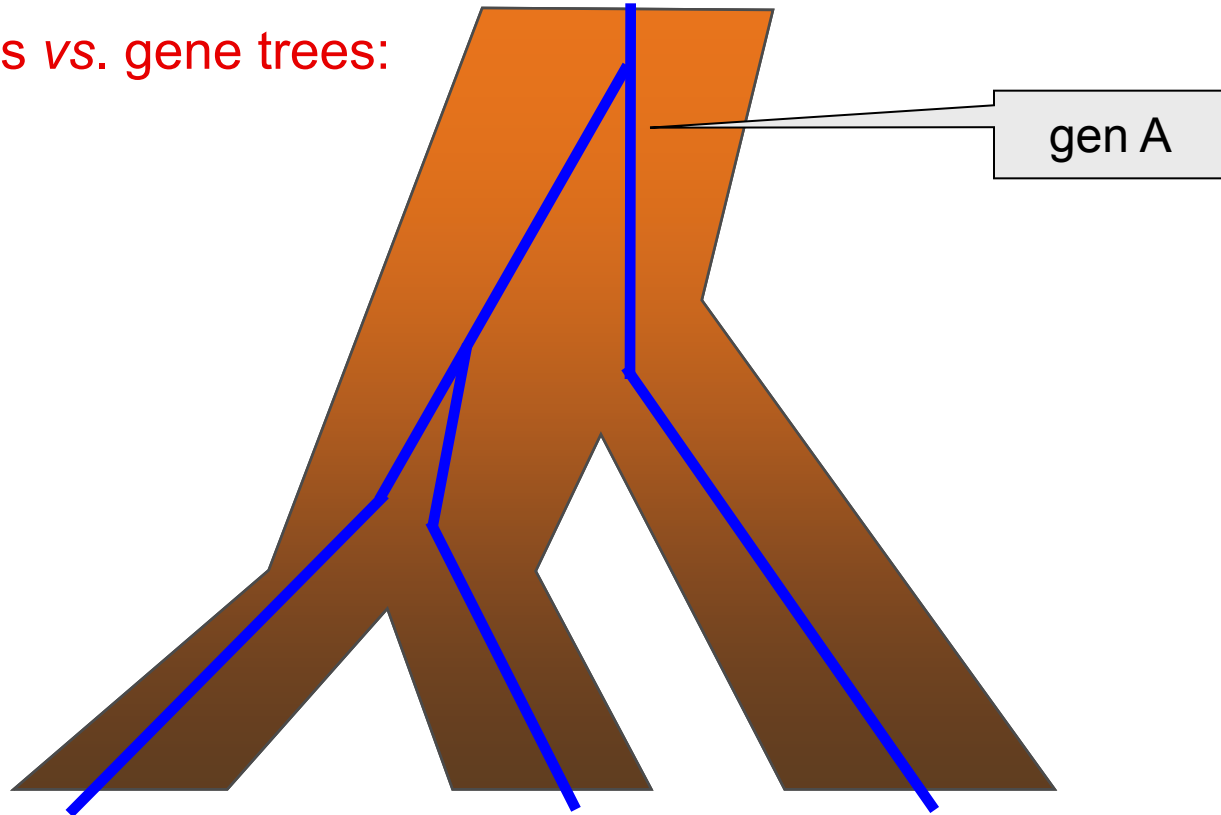


Koalescence

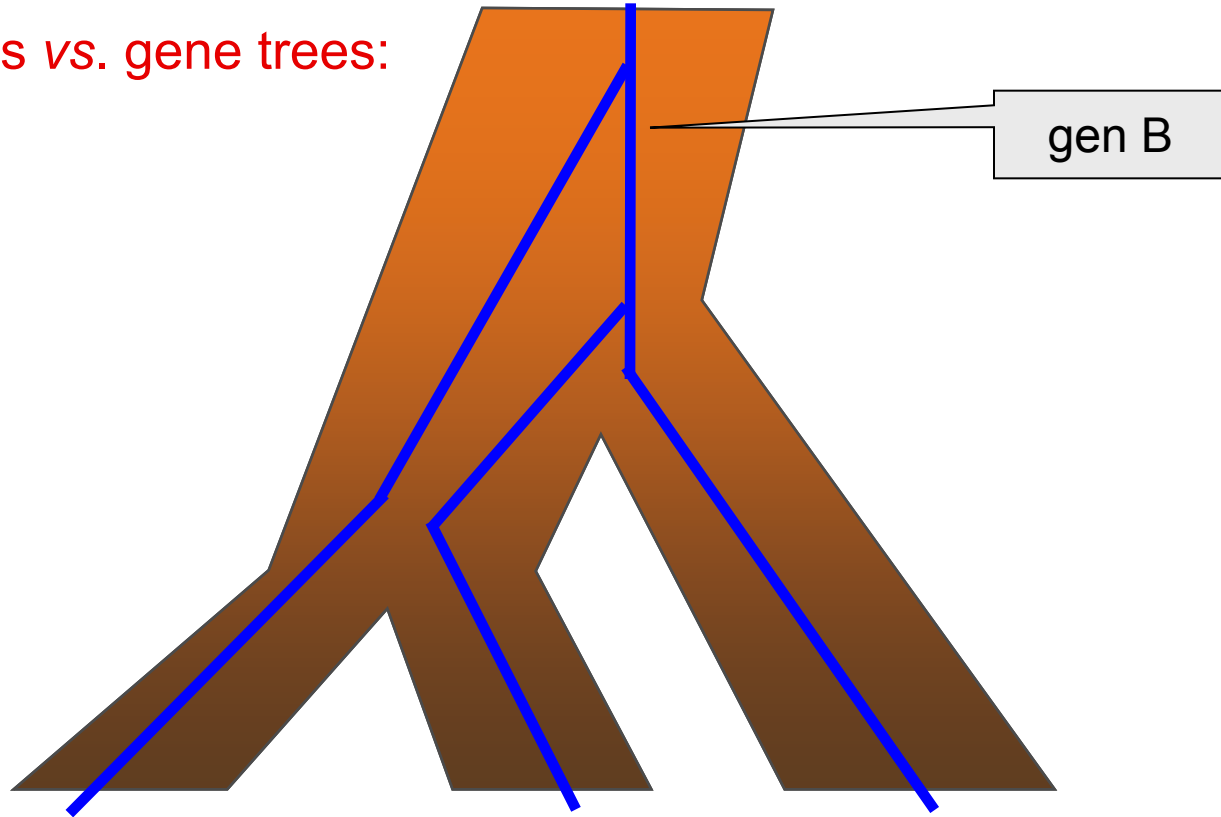
Osud jednotlivých kopií genů v populaci → genové stromy



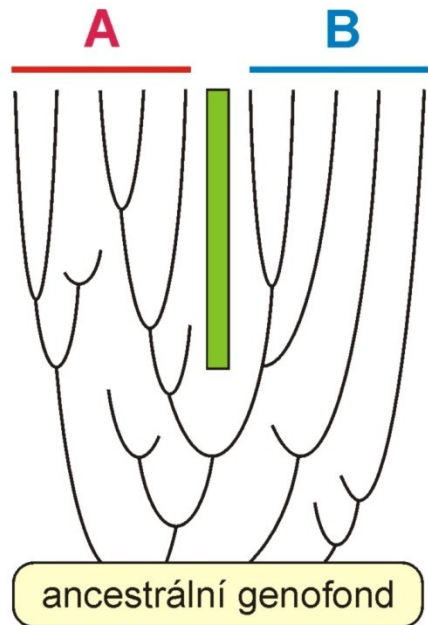
Species trees vs. gene trees:



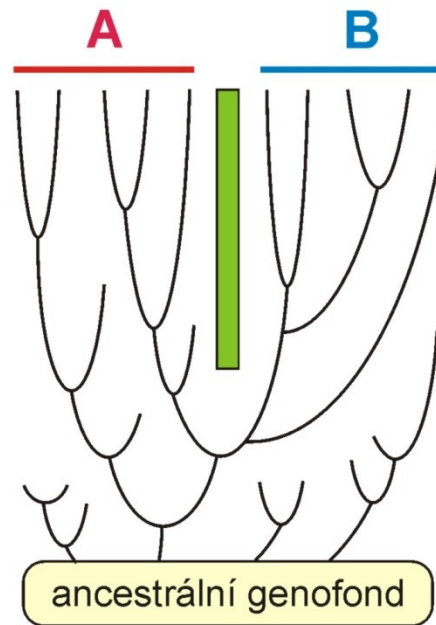
Species trees vs. gene trees:



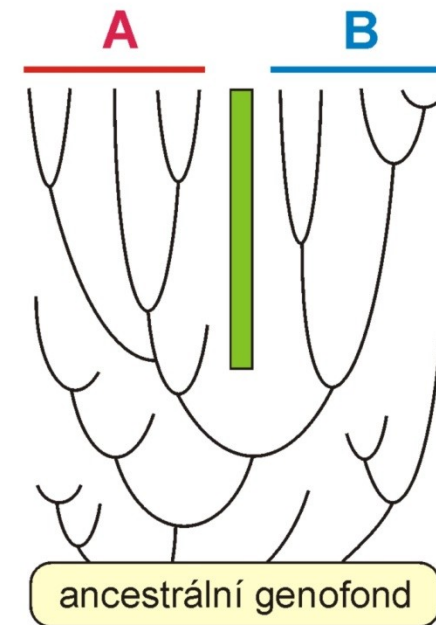
Fylogenetické vztahy 2 dceřinných populací (např. mtDNA):



polyfylie

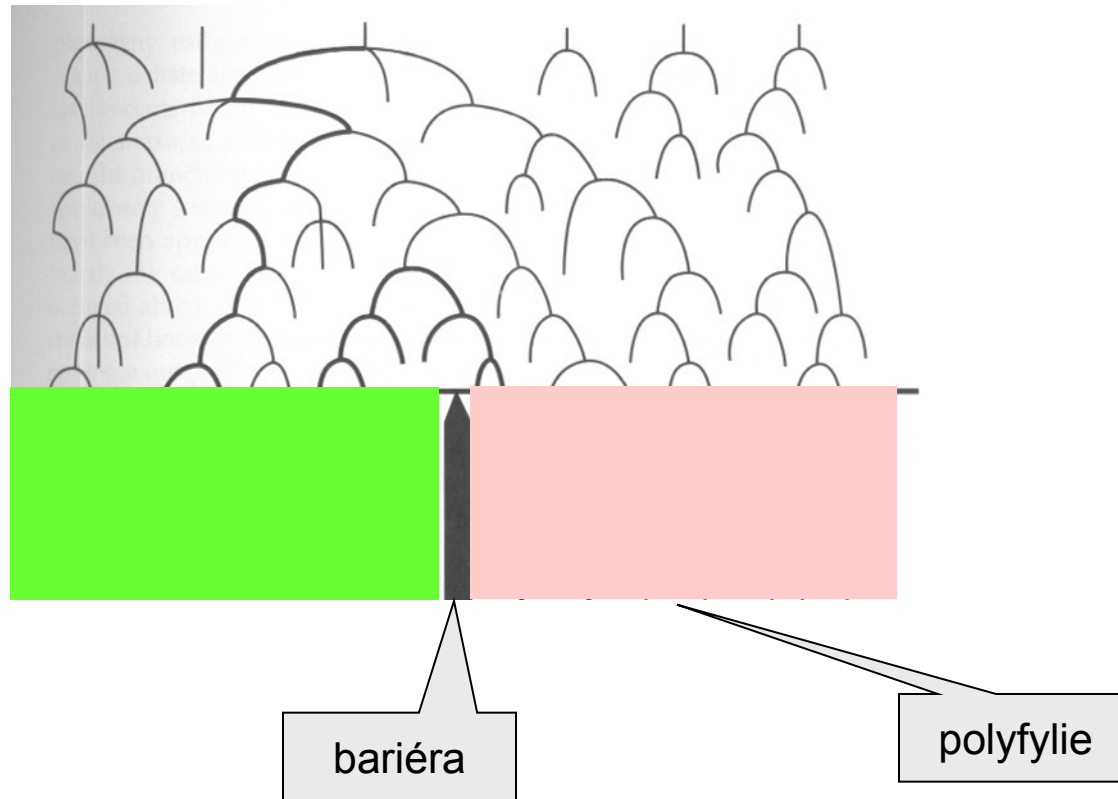


parafylie

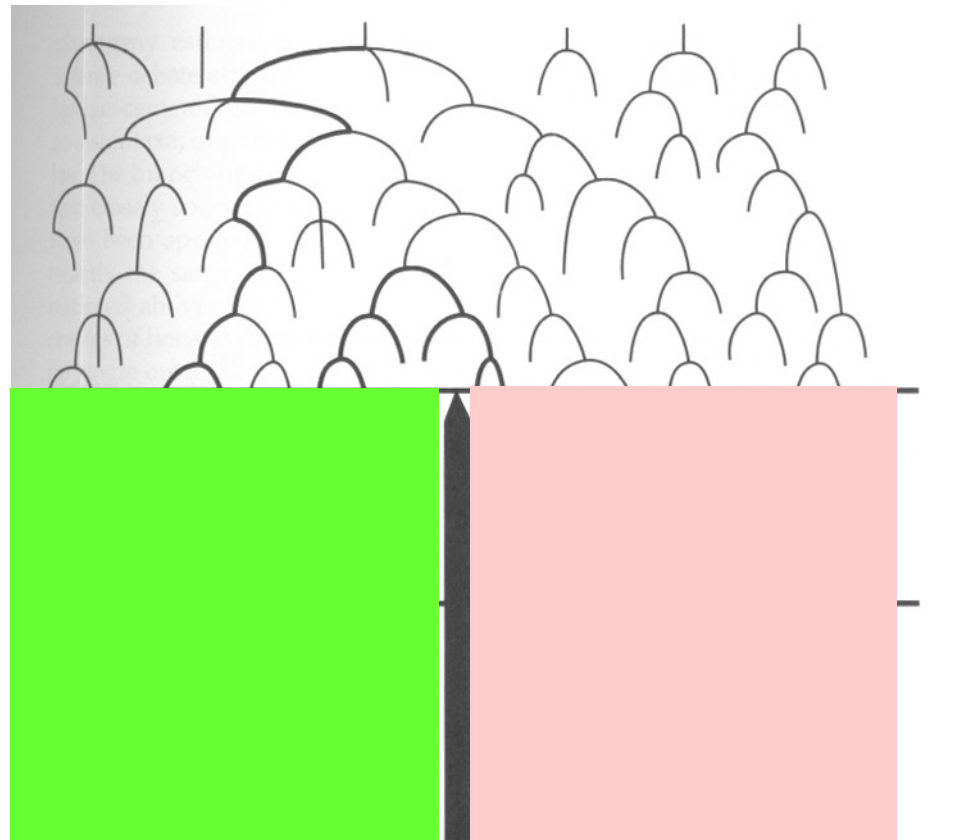


reciproční monofylie

Ancestrální polymorfismus a sortování linií

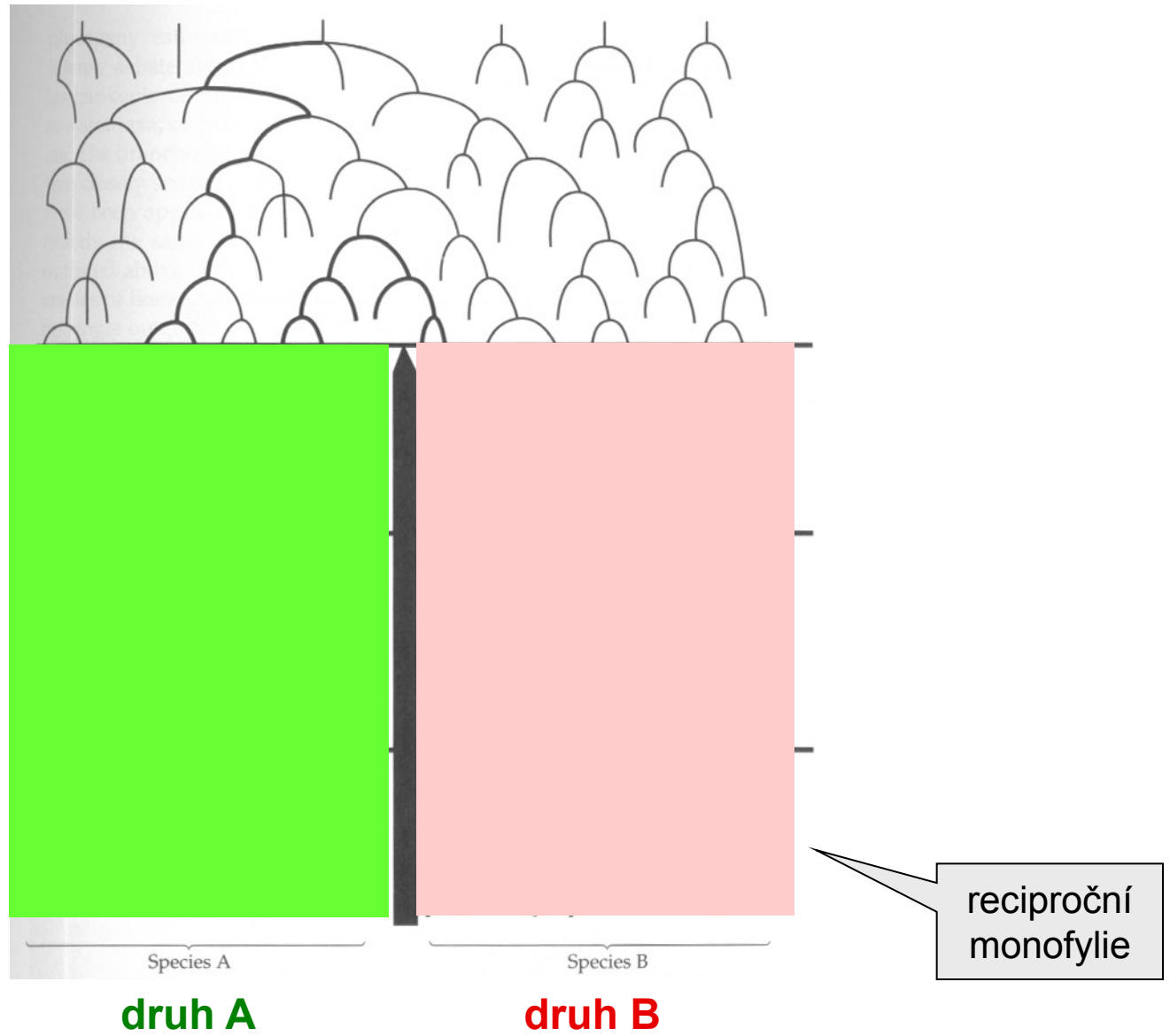


Ancestrální polymorfismus a sortování linií

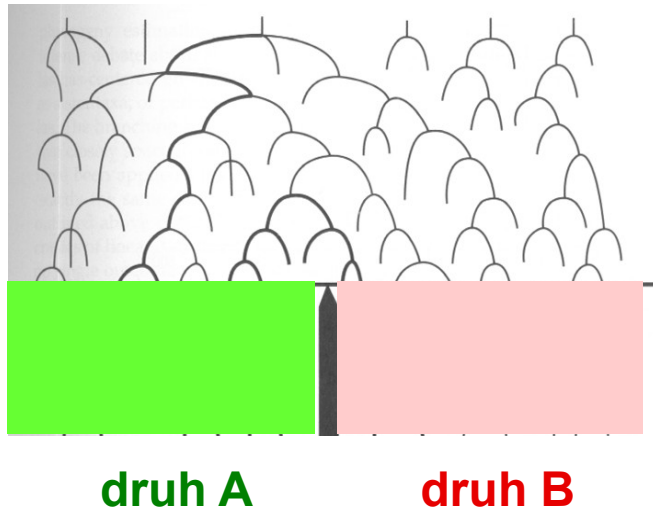


parafyletická
fáze

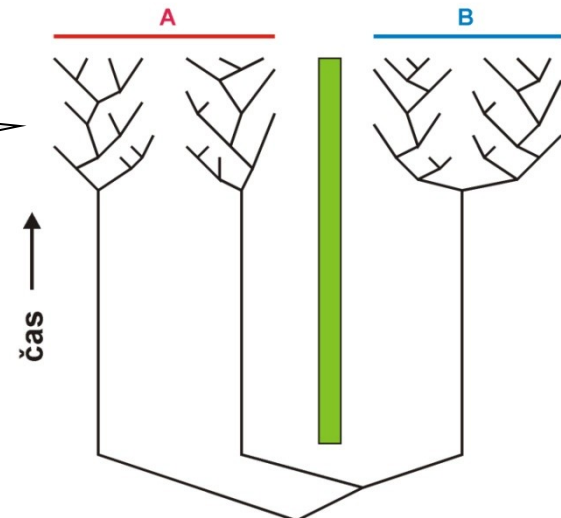
Ancestrální polymorfismus a sortování linií



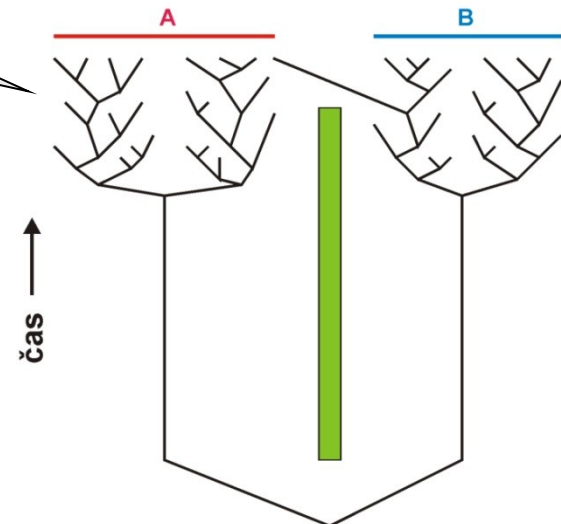
Ancestrální polymorfismus a sortování linií



nekompletní
sortování linií



recentní
tok genů



Problém: „incomplete lineage sorting“ je
většinou obtížné odlišit od důsledků toku genů

Wrightův-Fisherův model (drift):

konstantní velikost populace o N jedincích

náhodné párování

počet potomků jednotlivých jedinců náhodný (Poissonovo rozdělení)

Hardyho-Weinbergova rovnováha

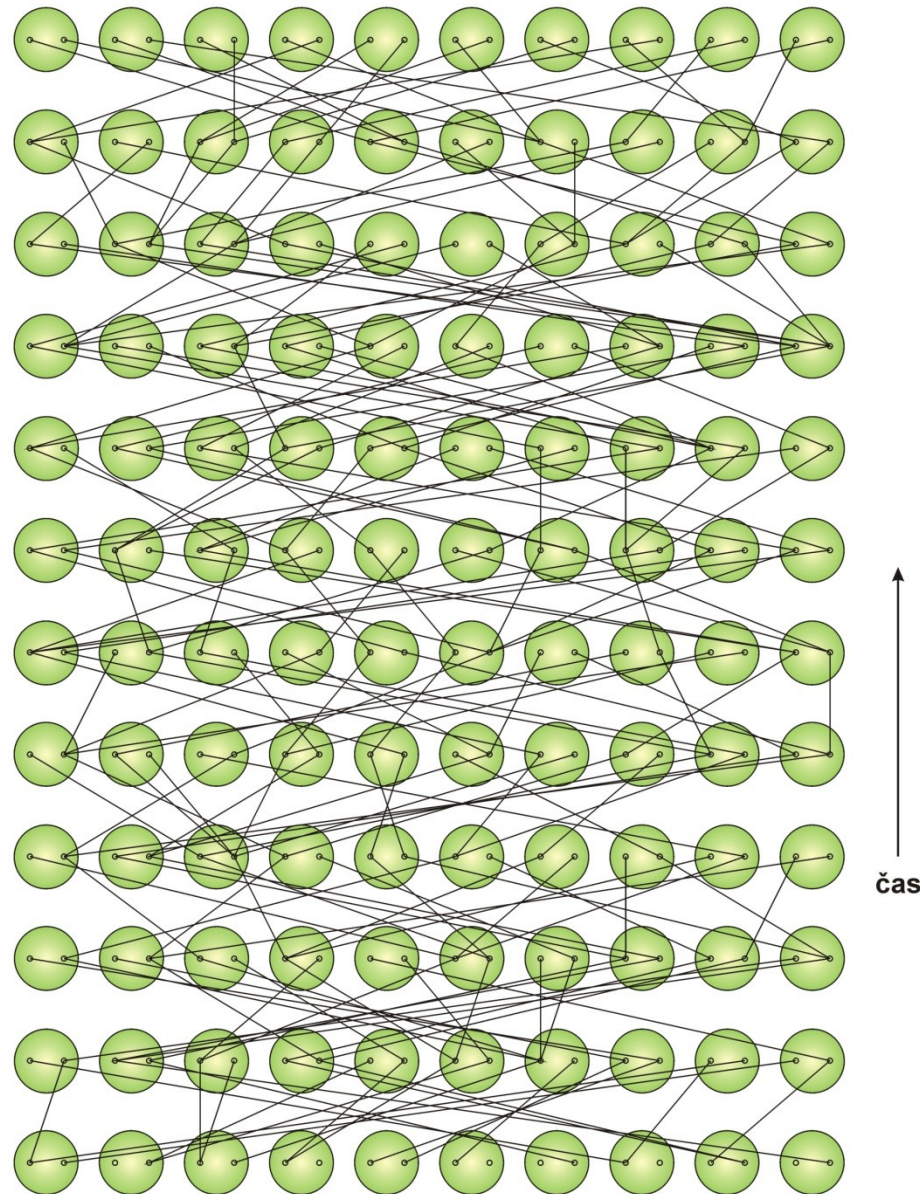
nepřekrývající se generace

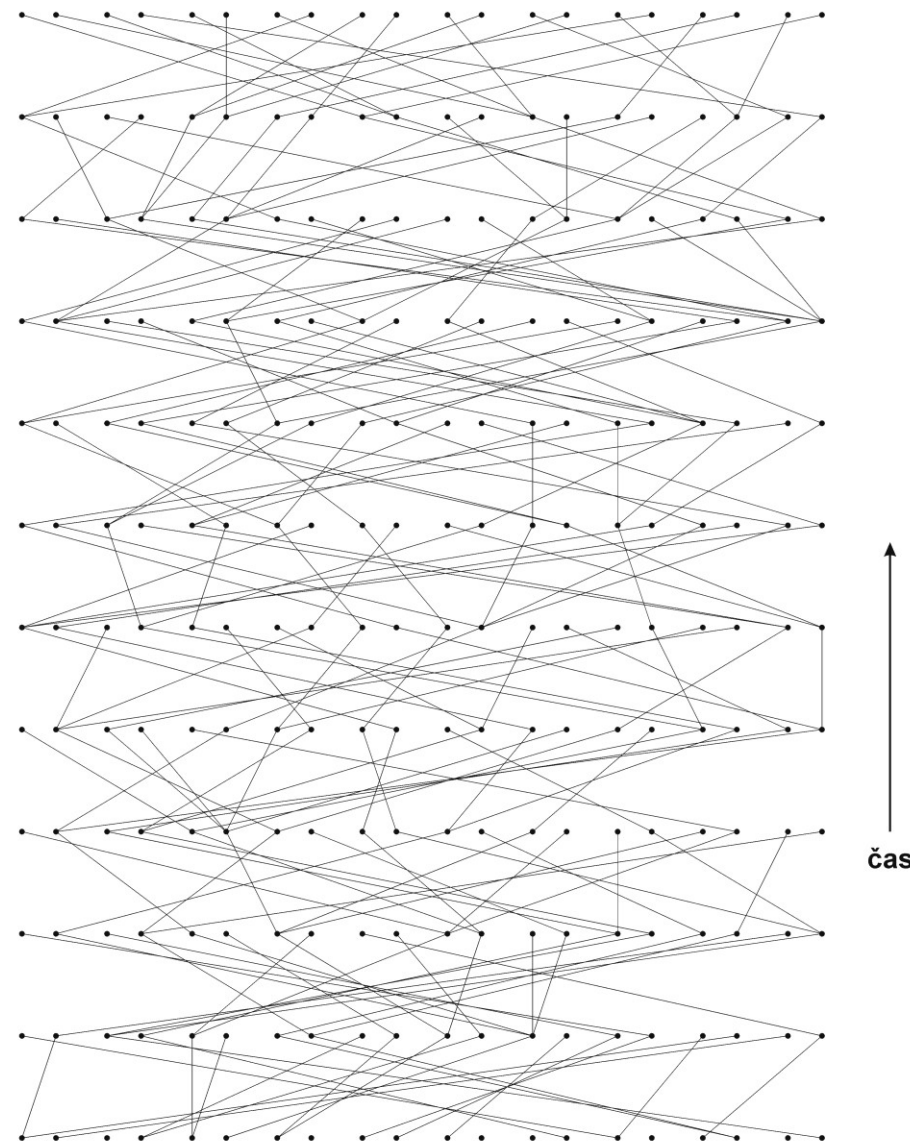
každý jedinec současně samec i samice

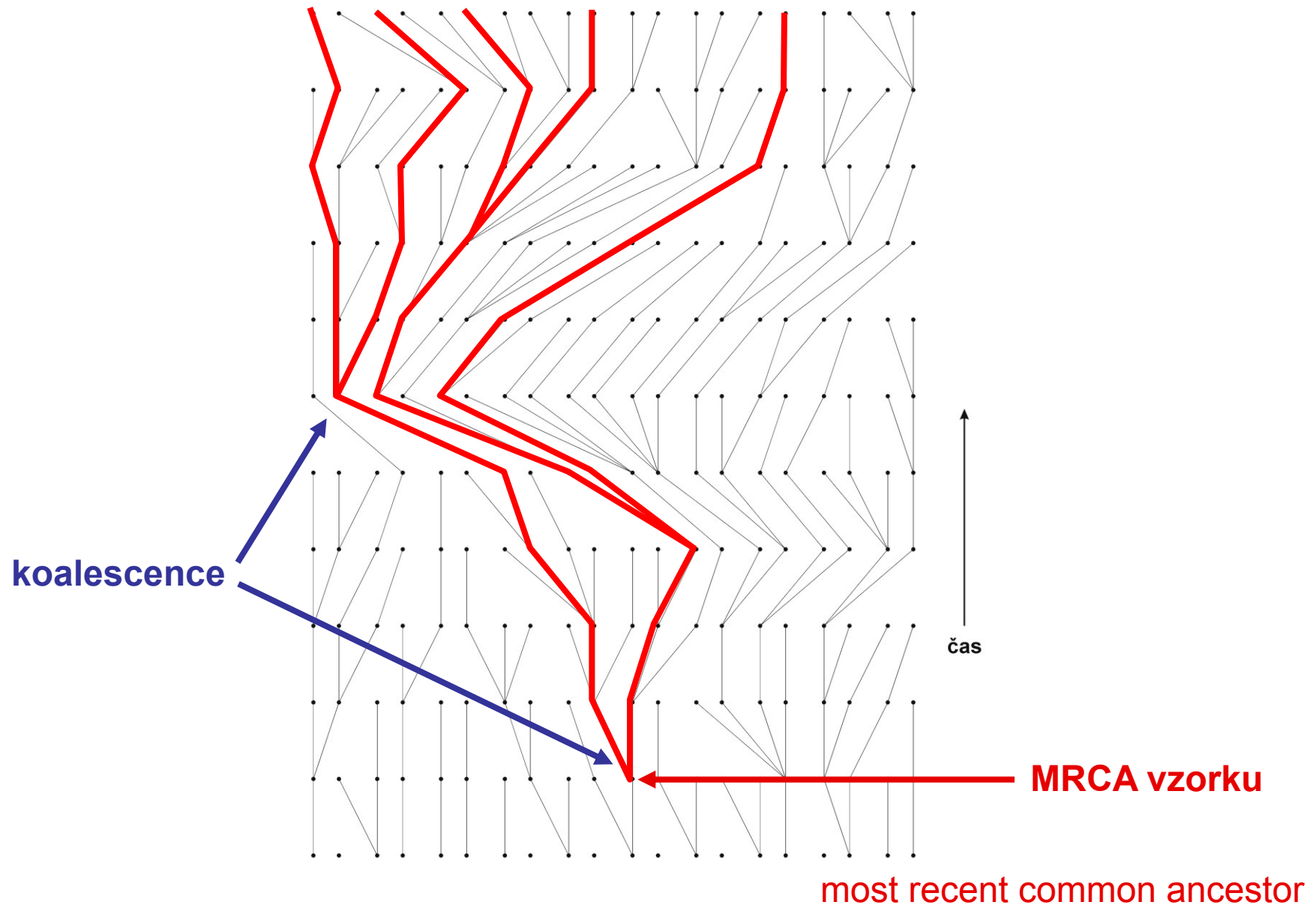
možné i samooplození

gen selektivně neutrální

populace není geograficky strukturovaná







Analogie procesu koalescence: příklad švábů v krabici
pravděpodobnost srážky = $k(k - 1)/4N$ (/ $2N$ v případě haploidie)



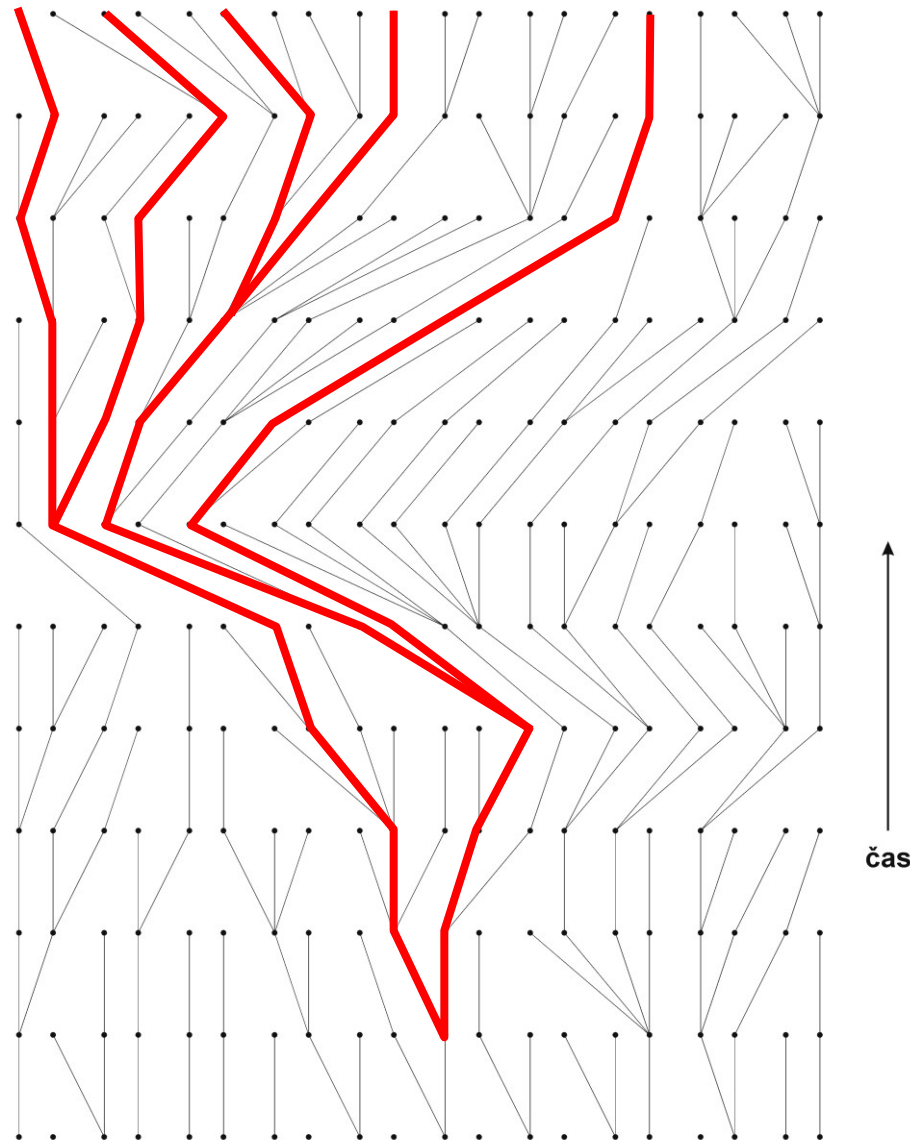
Kingmanova koalescence:

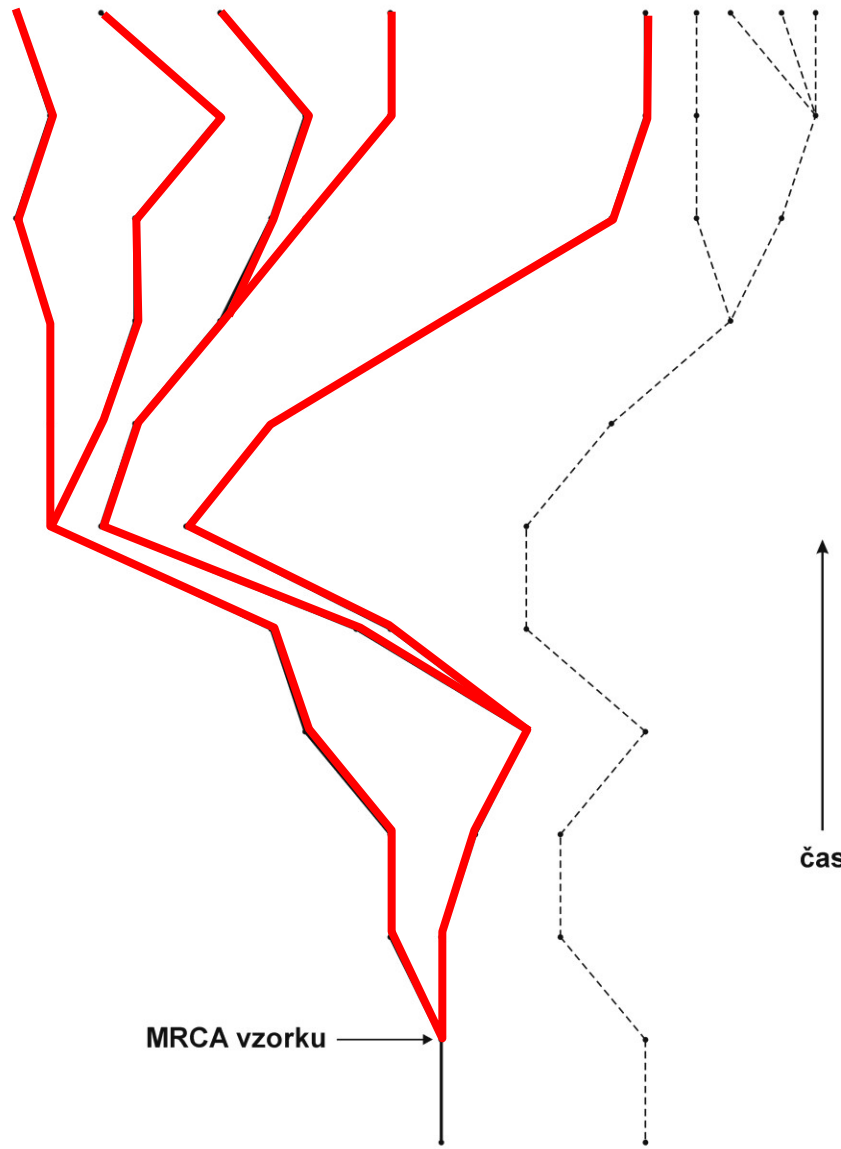
Sir John F.C. Kingman

vzorek k genových kopií z celkového počtu N (uvažujeme haploidní stav)
pravděpodobnost, že 2 kopie pocházejí ze stejného předka v předchozí
generaci je rovna $1/N$

geometrické rozdělení – approximace exponenciálním rozdělením

zajímá nás pouze genealogie kopií, které zanechaly potomky
do současnosti





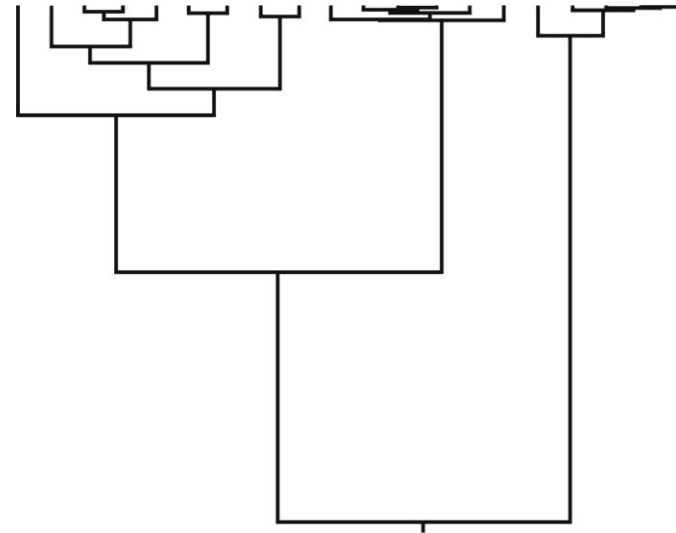
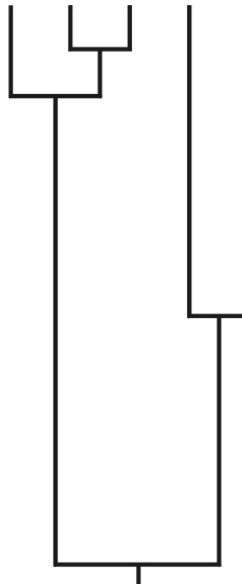
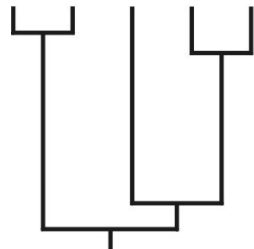
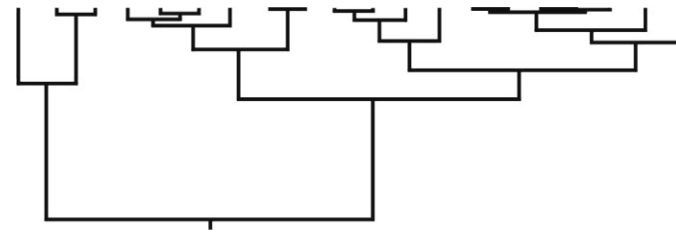
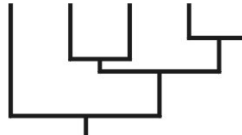
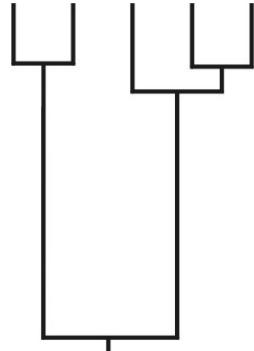
Kingmanova koalescence:

čím menší počet zbývajících kopií, tím se **proces koalescence zpomaluje** (pro velká $k \sim 4N$, pro 2 kopie $\sim 2N$)

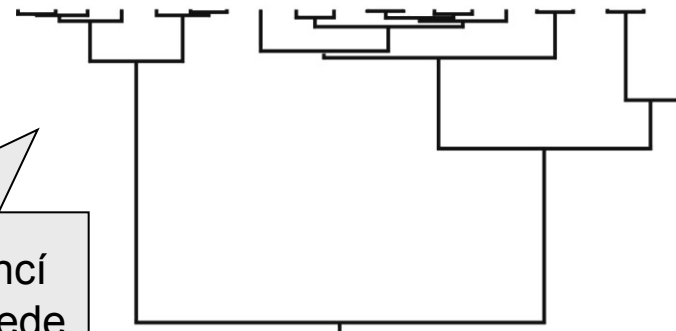
splynutí posledních n kopií zabere $(1 - 1/n)/(1 - 1/k)$

⇒ prvních 90% kopií splyne během 9% celkového času, zbývajících 91% času se čeká na splynutí posledních 10 kopií!

jestliže 100 linií, pravděpodobnost, že 101. linie přidá hlubší kořen je pouze 0,02% ⇒ přidání další genové kopie pravděpodobně nepovede k hlubší (starší) koalescenci

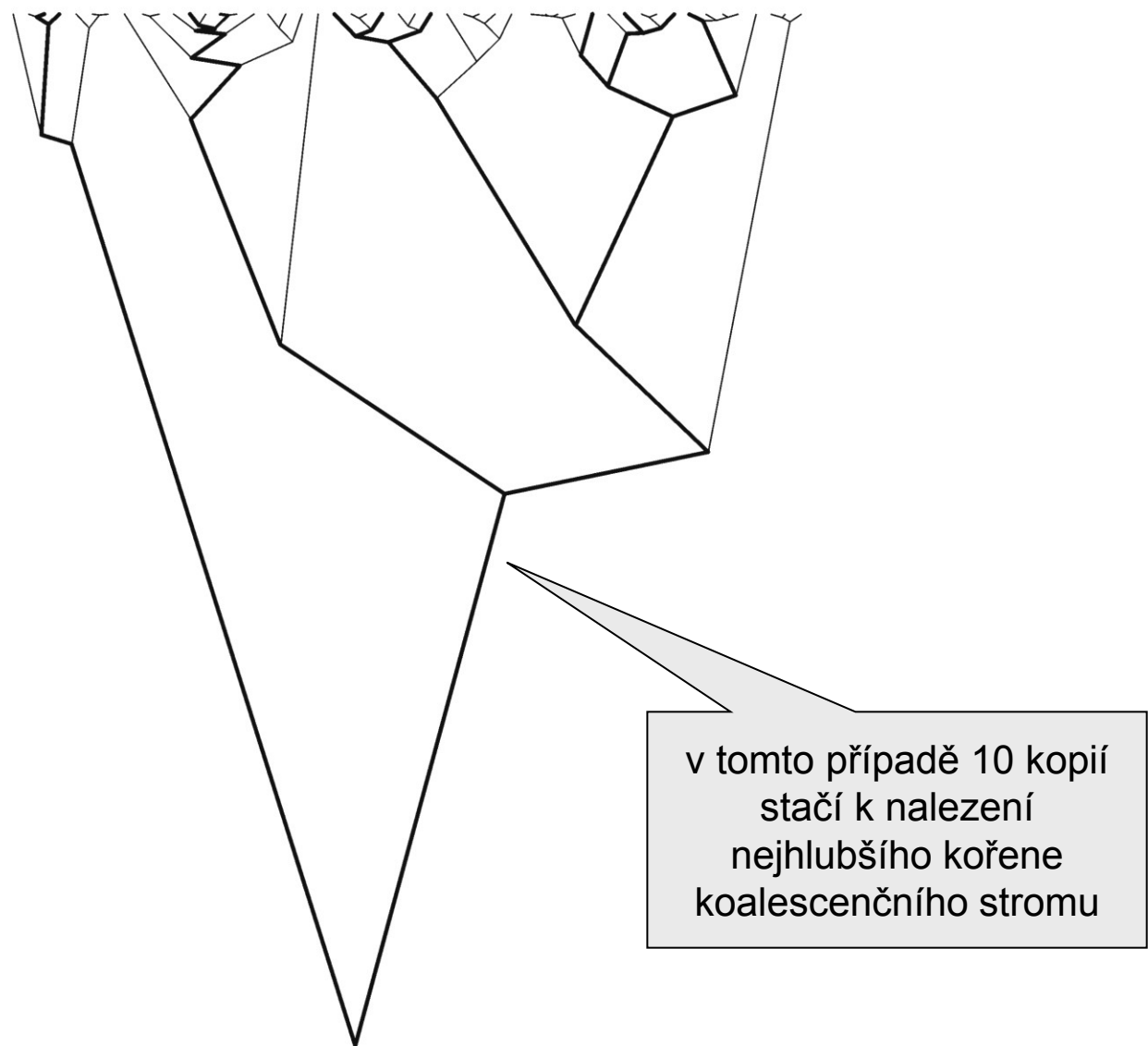


s klesajícím počtem
volných kopií se proces
zpomaluje ...



přidání dalších sekvencí
pravděpodobně nepovede
k hlubší koalescenci ...

50 genových kopií, 10 náhodně vybraných:



Koalescence je ovlivněna různými faktory, např.:

mutací

rekombinací

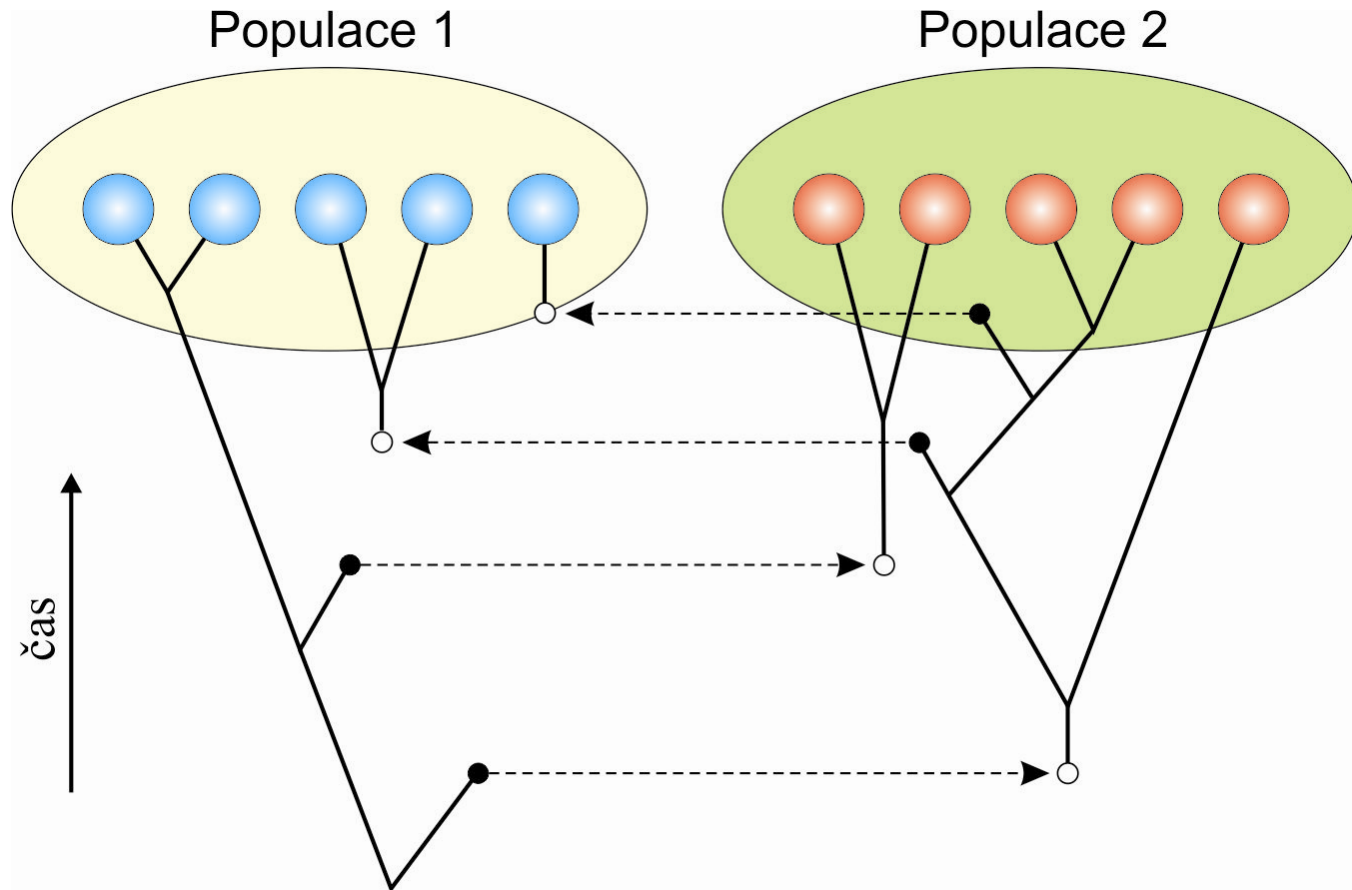
selekcí

změnami velikosti populace

⇒ koalescenční teorii lze použít k odhadu těchto parametrů

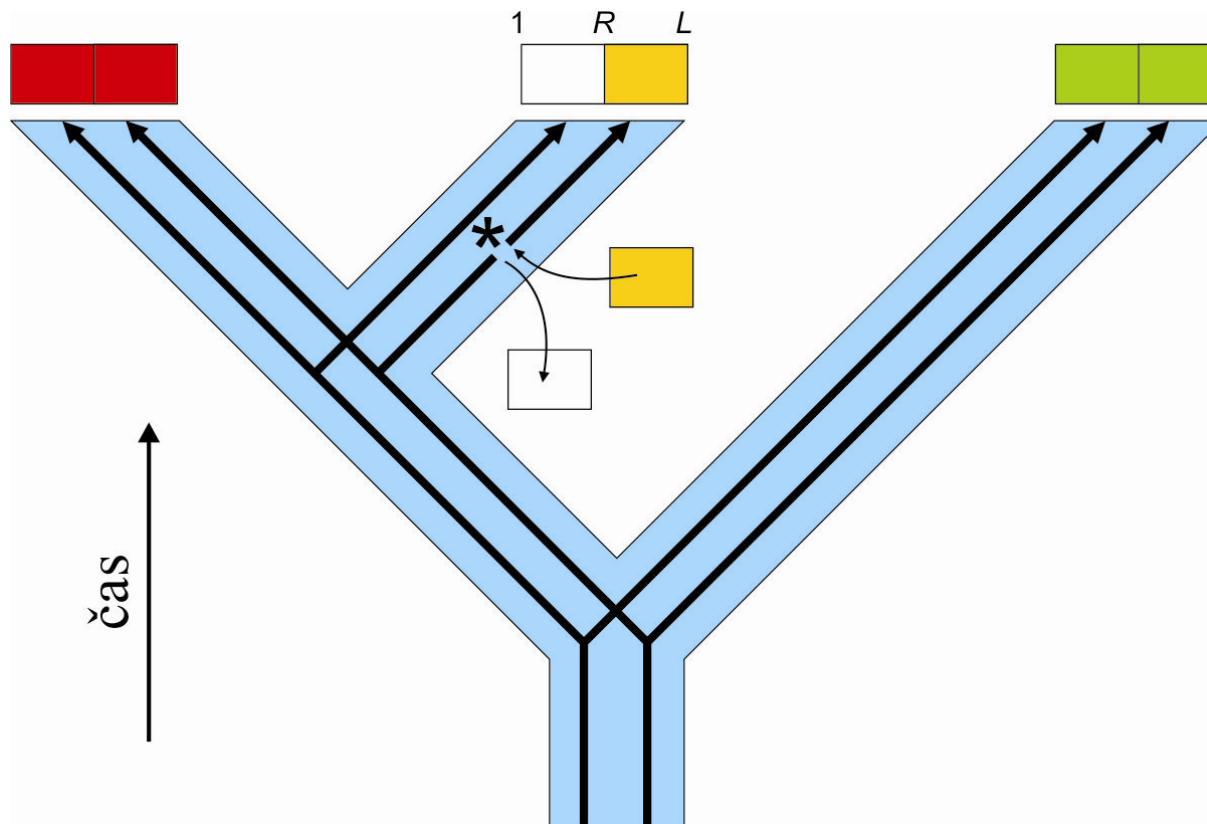
Koalescence je ovlivněna různými faktory, např.:

migrací

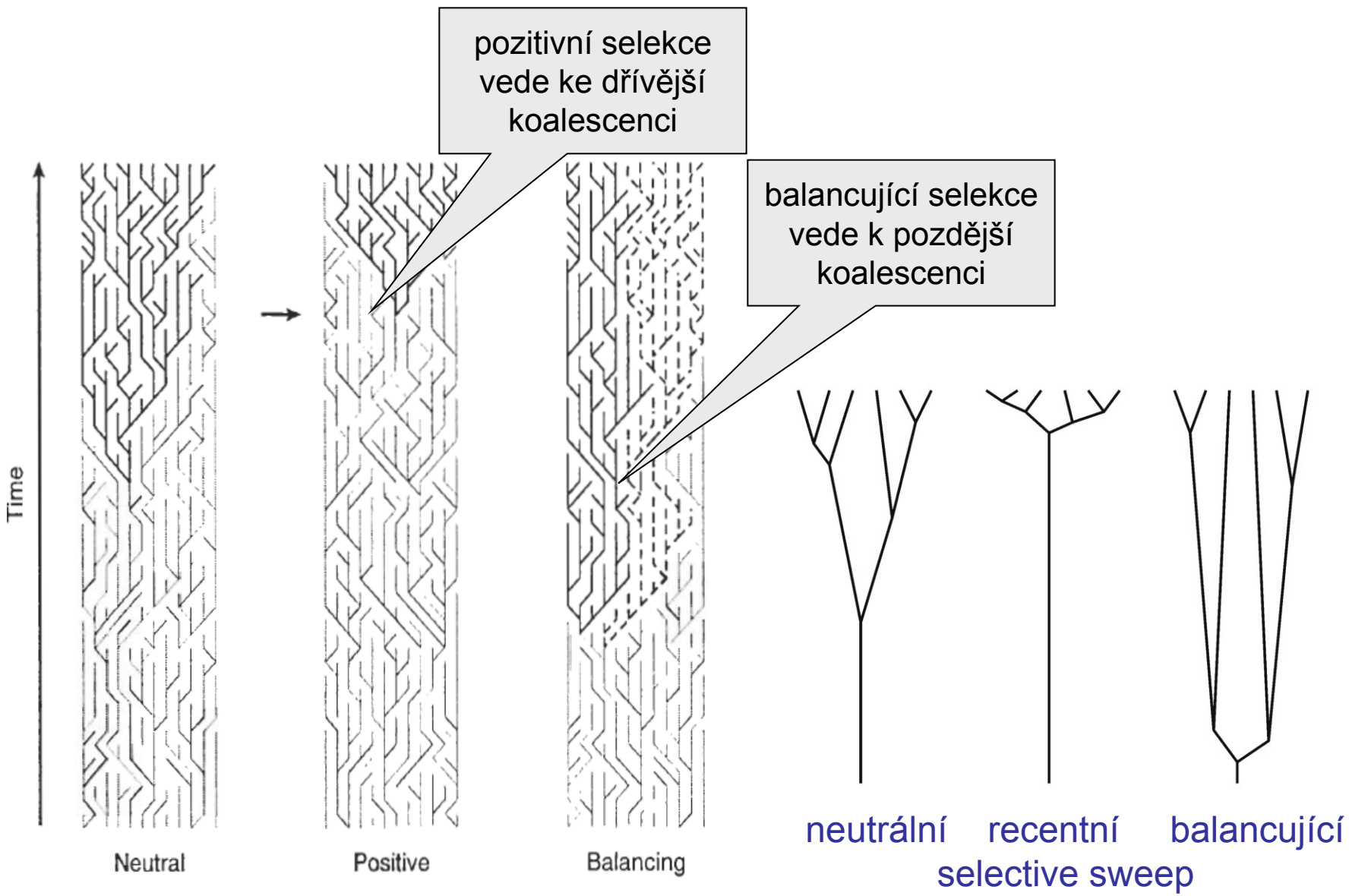


Koalescence je ovlivněna různými faktory, např.:

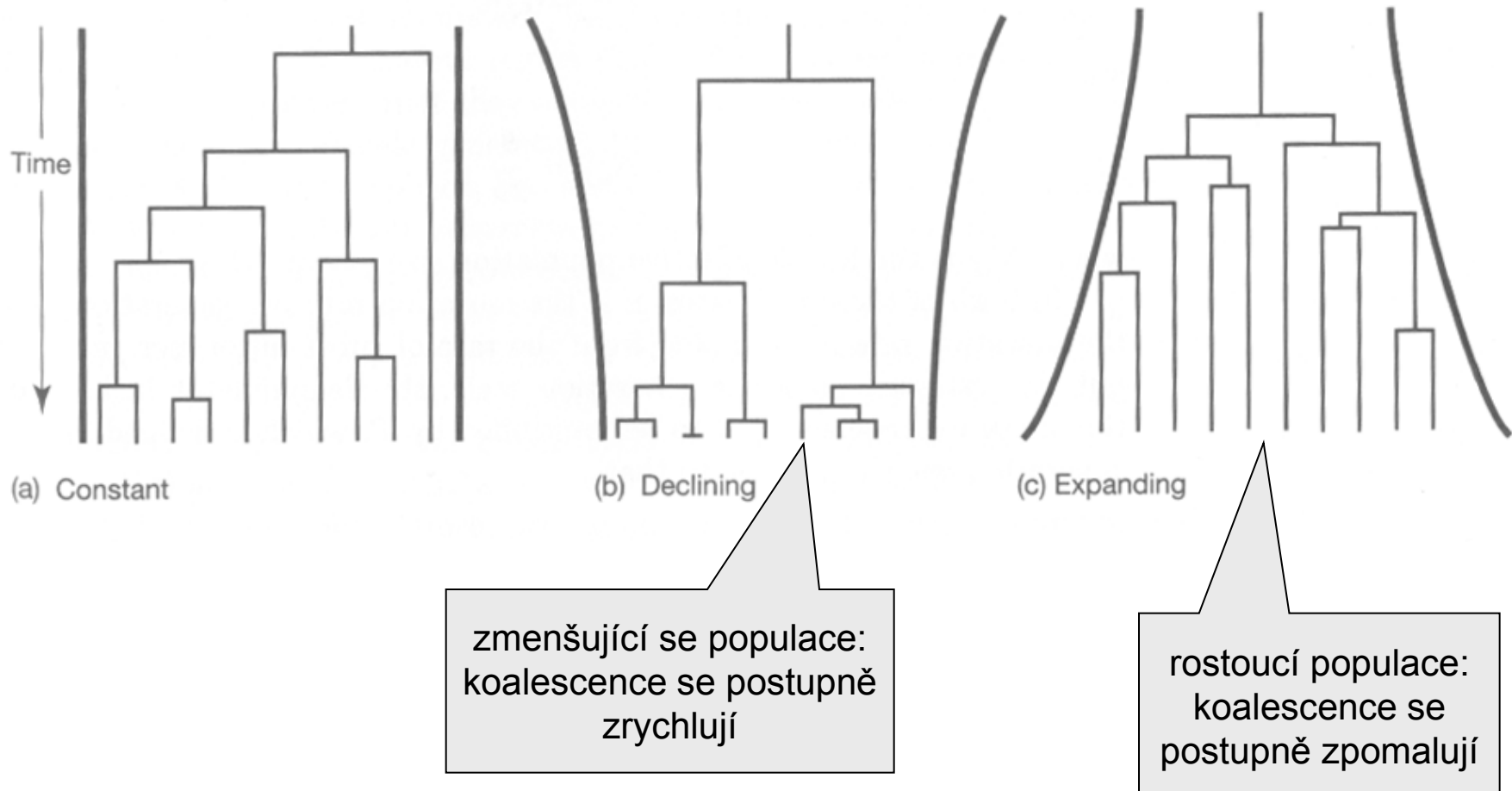
rekombinací



Vliv selekce na tvar koalescenčního stromu



Vliv změn velikosti populace na tvar koalescenčního stromu



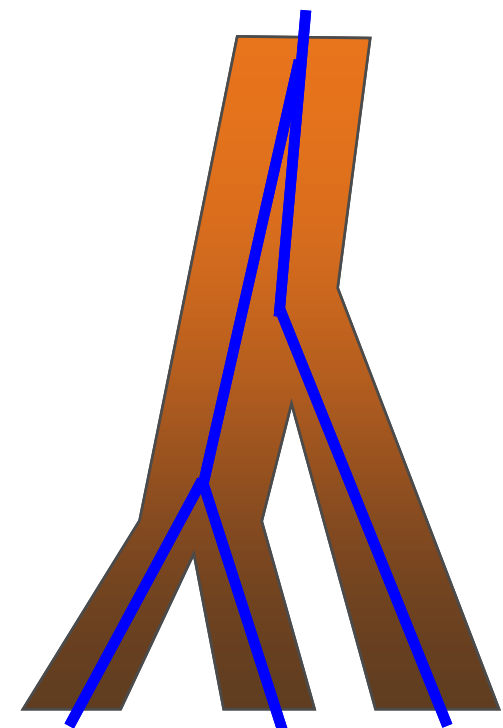
Genové vs. druhové stromy ještě jednou:

dlouhé intervaly mezi speciačními událostmi → genové a druhové stromy stejné

krátké intervaly mezi speciačními událostmi → genové stromy mohou být jiné než druhové (hemiplazie)

protože odhadujeme divergenci mezi sekvencemi a ne mezi druhy, jsou naše odhady nutně nadhodnocené

nesrovnalosti mezi genovými a druhovými stromy lze minimalizovat použitím markerů s nízkou N_e , např. mtDNA nebo chromozom Y



Fylogeografie

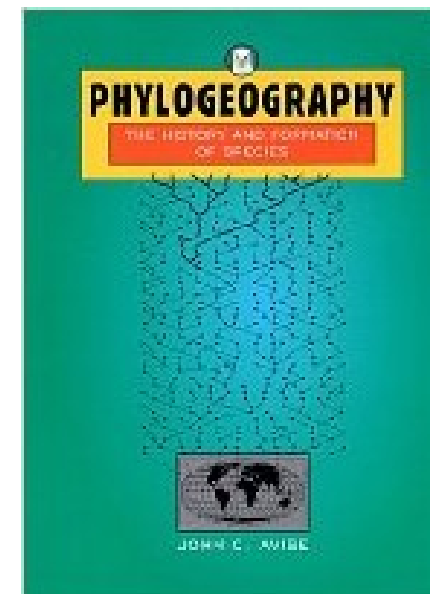
studuje principy a procesy ovlivňující geografické rozložení genealogických linií

svým způsobem propojuje mikroevoluční procesy (populační genetika) s makroevolucí (fylogeneze)

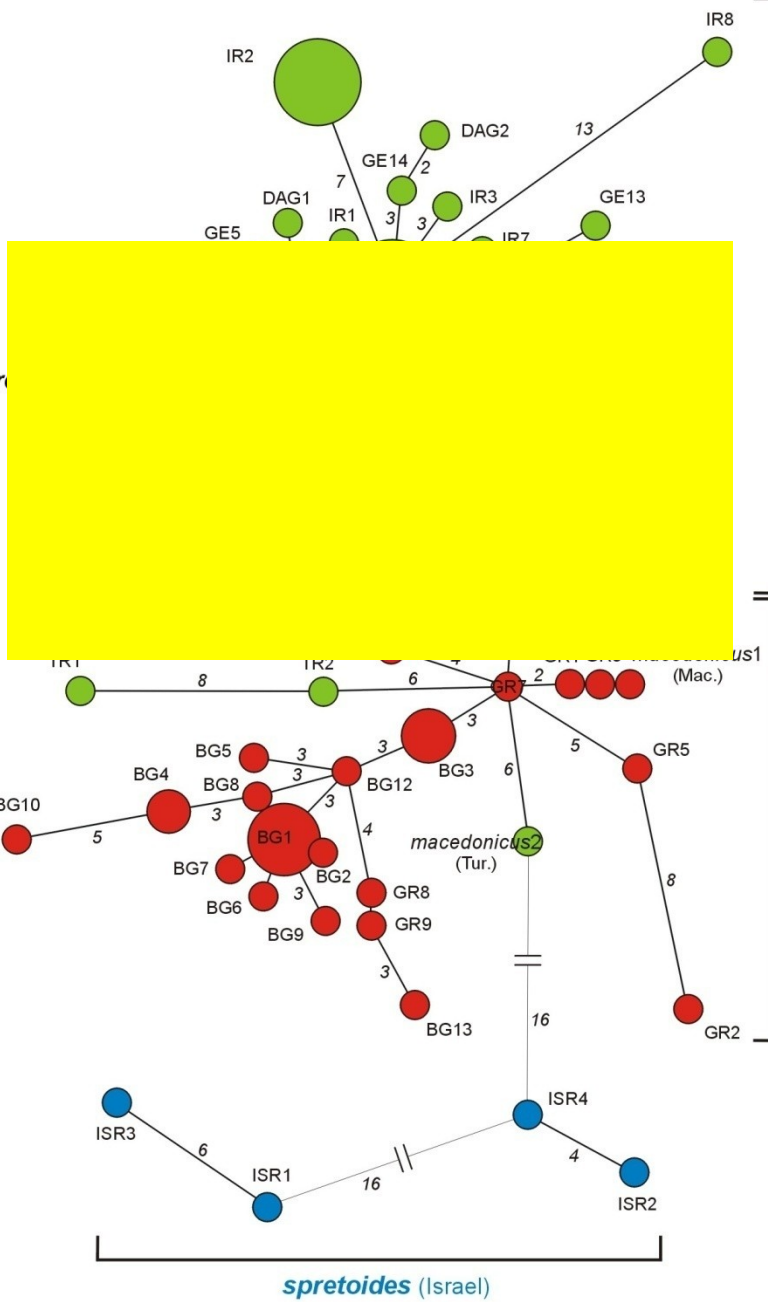
většinou vnitrodruhové studie nebo blízce příbuzné druhy



John C. Avise



M. spre

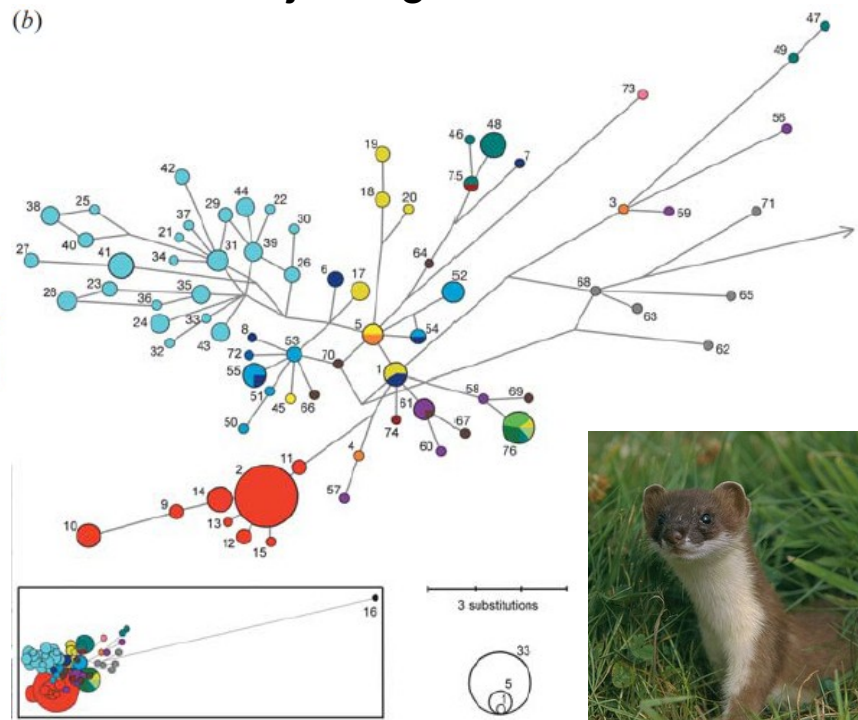


Mus macedonicus

Asia

Minimum Spanning Tree (MST)
Minimum Spanning Network (MSN)
Median-joining network

(b)



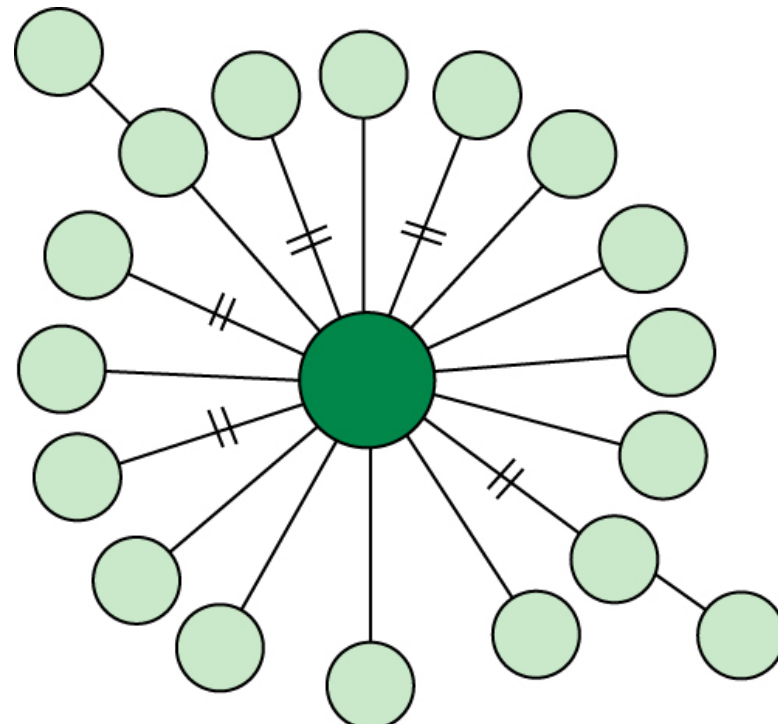
Mustela erminea

Recentní expanze:

rychlé rozšíření jednoho haplotypu

akumulace malého počtu mutací

hvězdicová struktura



Změny velikosti populace

Tajimův test (Tajima's D)

rozdělení párových rozdílů (mismatch distribution)

koalescence, ML nebo BA, MCMC

Bayesian Skyline Plots

1. Tajimův test (Tajima's *D*)

založený na porovnání haplotypové diverzity a nukleotidové diverzity

primárně jde o test selektivní neutrality, ale může indikovat i růst populace nebo bottleneck

silně záporné hodnoty indikují populační expanzi – převládá „mladý“ polymorfismus, kdy se vytvořily nové haplotypy, ale nukleotidová diverzita je stále nízká

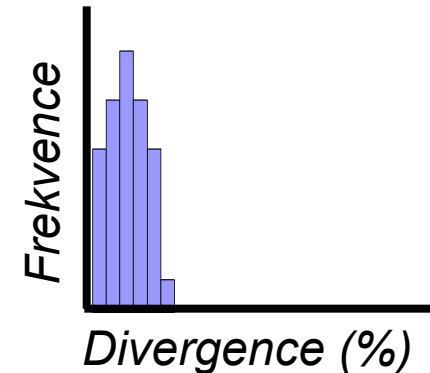
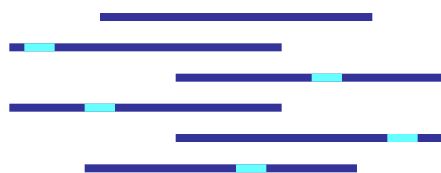
programy Arlequin, DnaSP

podobně Fu's test

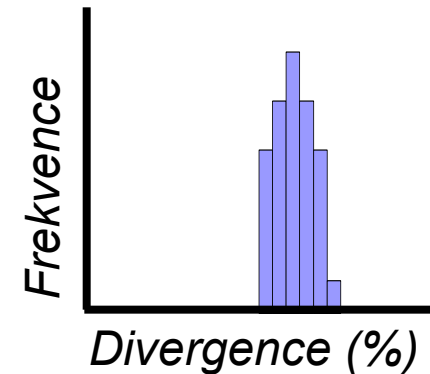
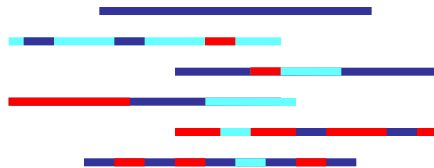
2. Rozložení párových neshod (mismatch distribution)

párová srovnání všech sekvencí → histogram

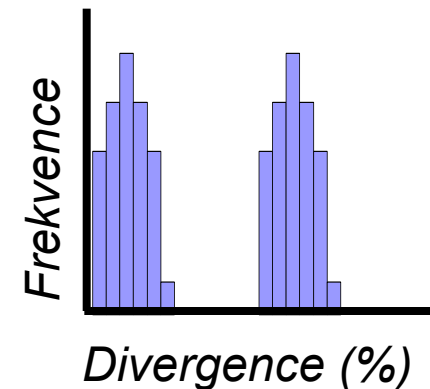
Sekvence navzájem velmi podobné

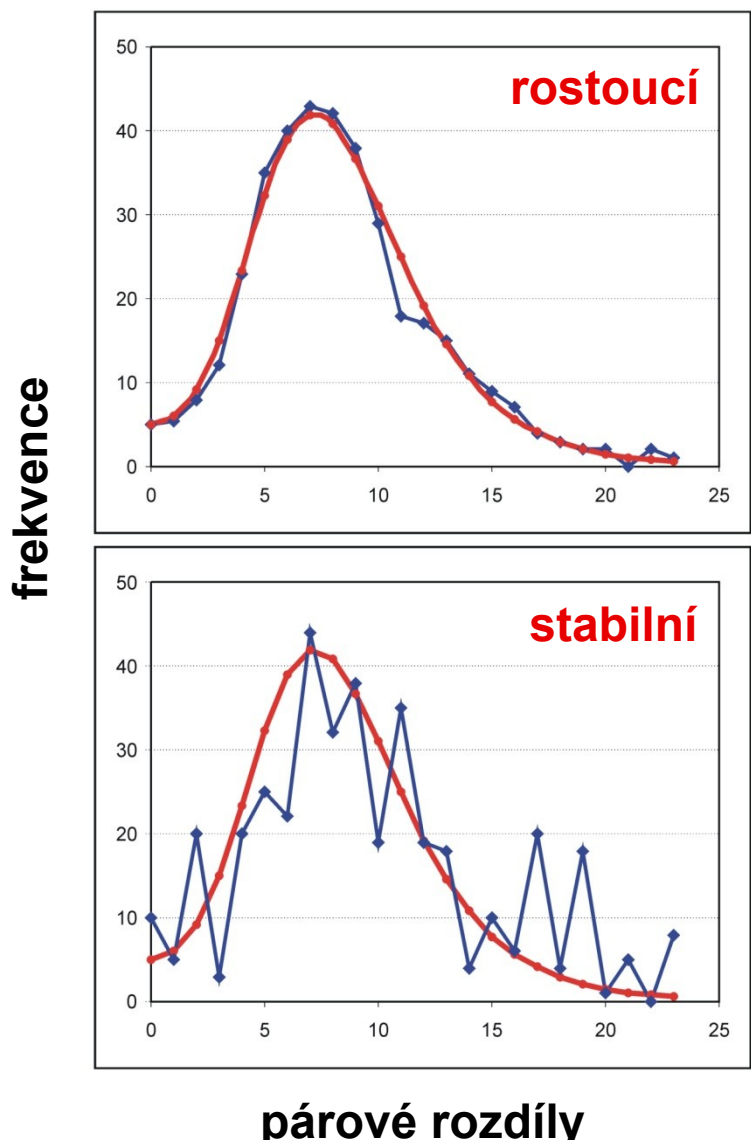


Sekvence navzájem velmi odlišné



Směs podobných a odlišných sekvencí





test shody skutečného rozdělení
s teoretickou predikcí:

Harpending's raggedness index
(Harpending 1994)

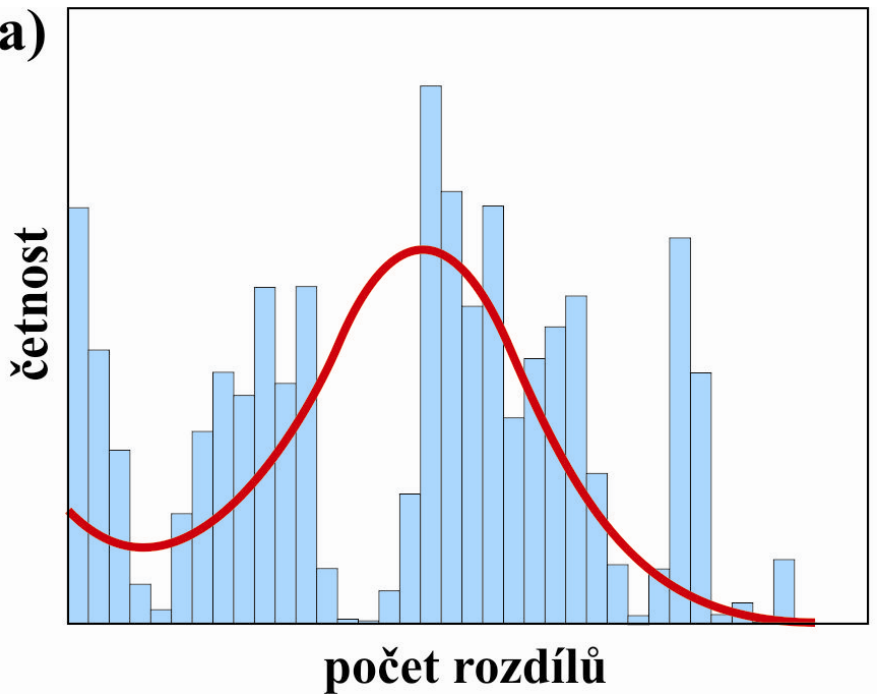
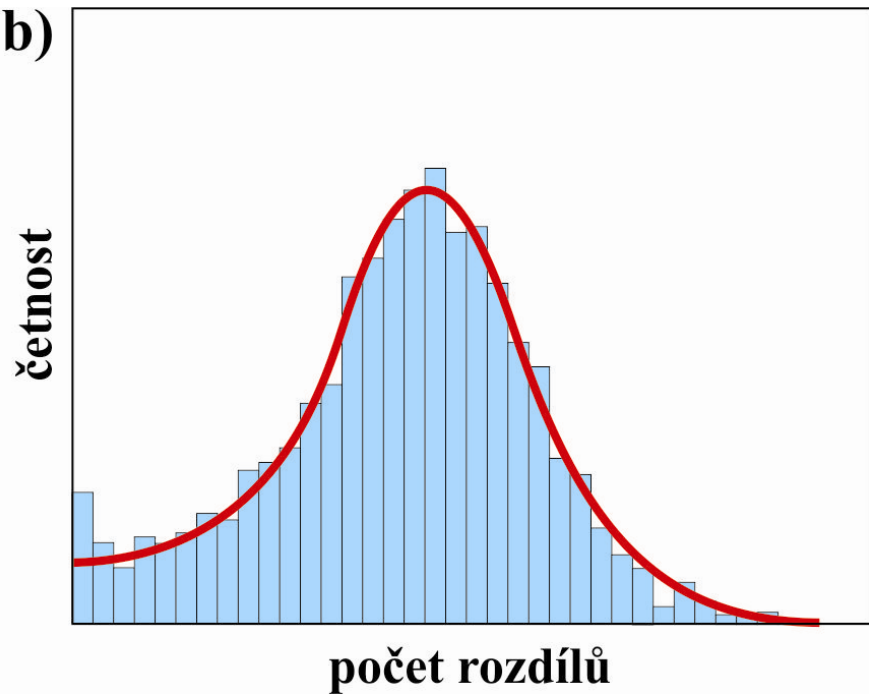
sum of squared deviations

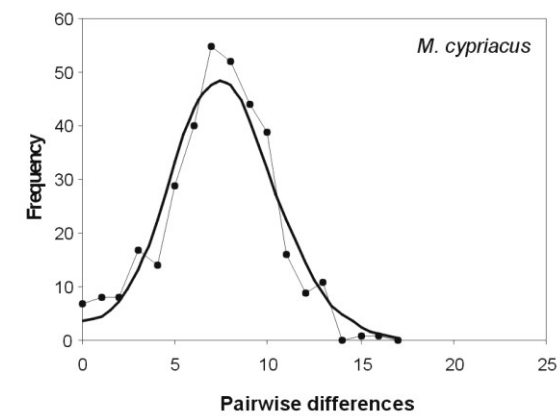
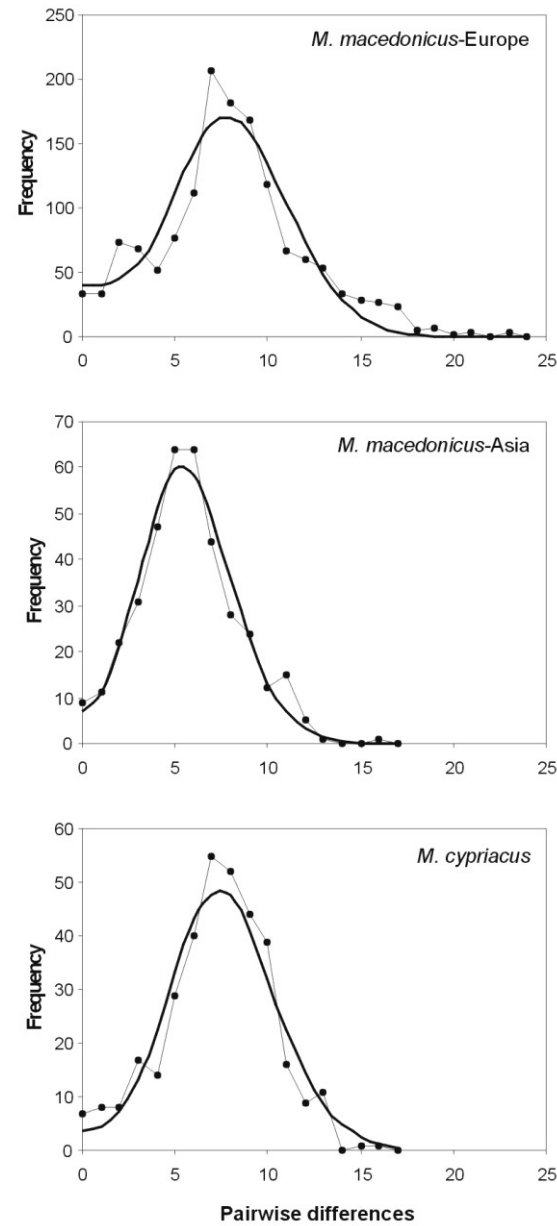
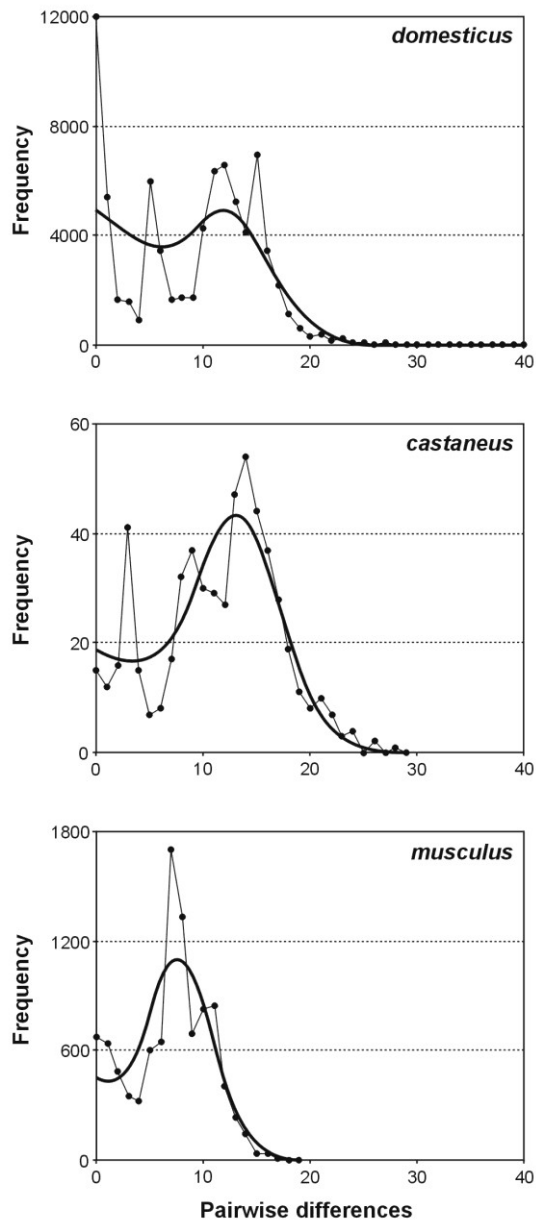
doba expanze/bottlenecku:

$$\tau = 1/2u,$$

kde u je mutační frekvence pro celou sekvenci

můžeme odhadnout i velikost populace před a po expanzi

a)**b)**



3. ML a bayesiánské odhady

MCMC

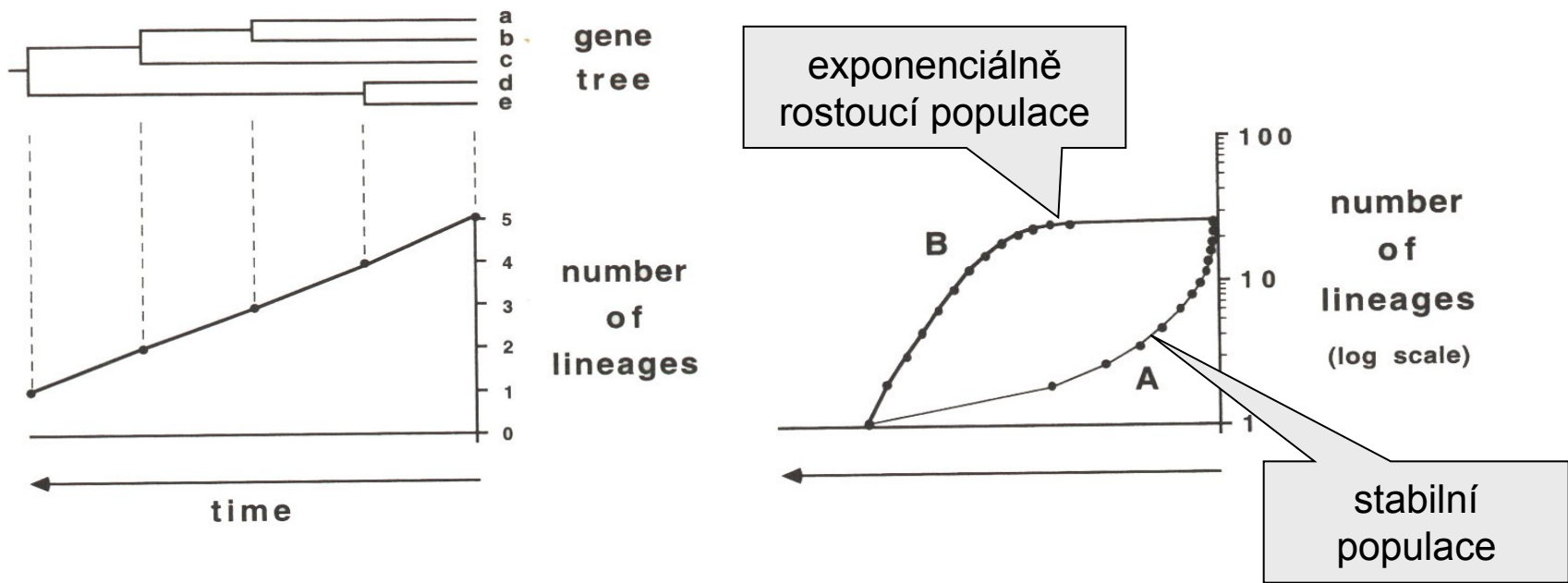
srovnání modelu stabilní velikosti a modelu exponenciálního růstu/redukce populace pomocí LRT s 1 stupněm volnosti

program Fluctuate:

parametr růstu g

ML i BA přístup

4. Bayesovský panoramatický graf = Bayesian Skyline Plot (BSP)



rozložení genealogických linií v čase

BSP vychází z tohoto postupu

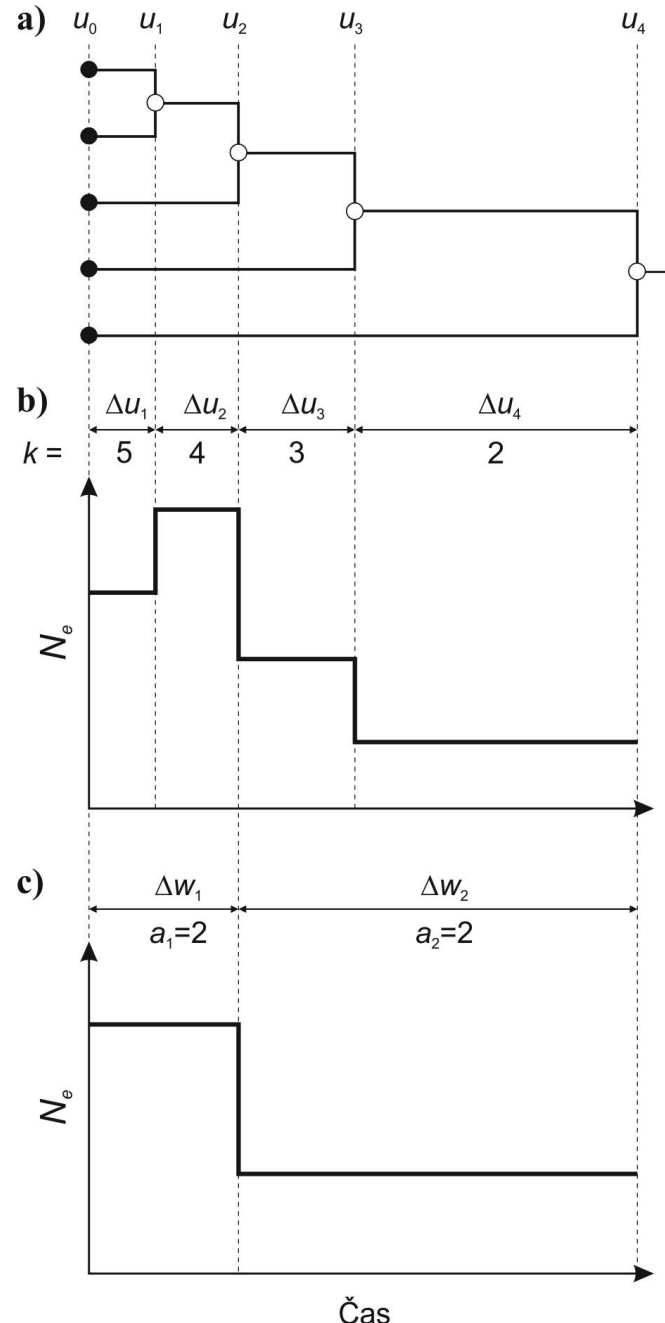
programy BEAST a Tracer

4. Bayesovský panoramatický graf = Bayesian Skyline Plot (BSP)

rozložení genealogických linií v čase

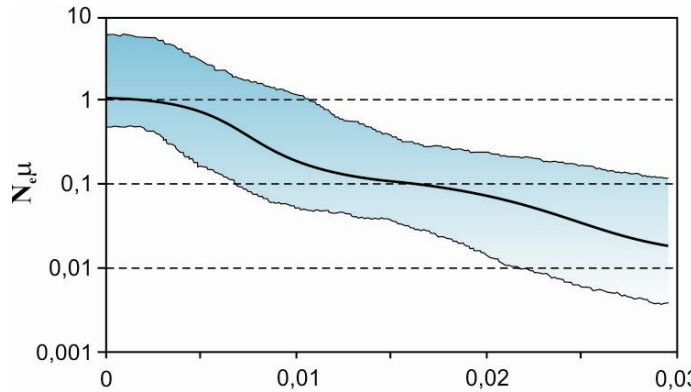
BSP vychází z tohoto postupu

programy BEAST a Tracer



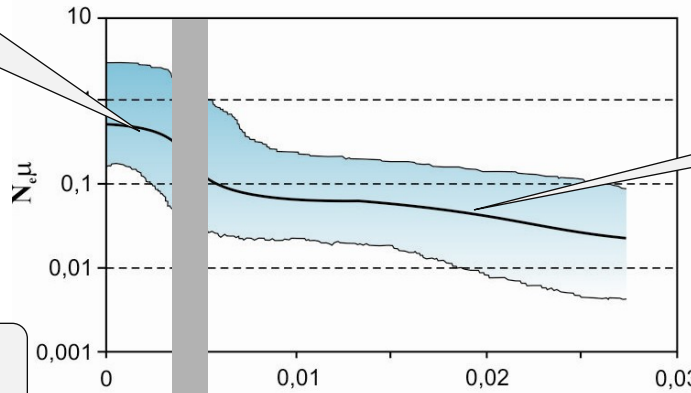
Myší kolonizace Evropy

expanze do Evropy



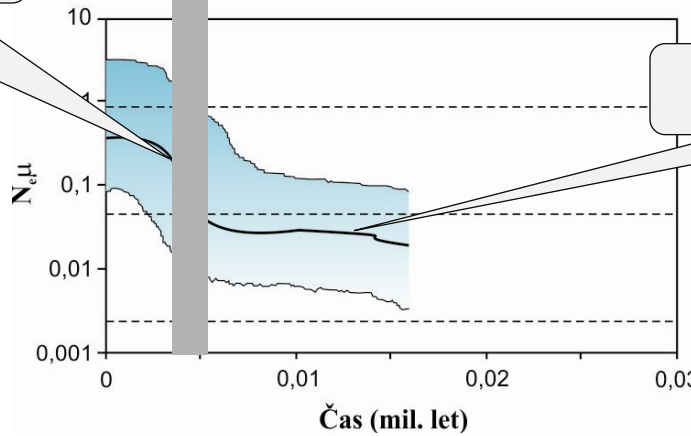
domesticus

expanze do Evropy



domesticus - Europa

původ mimo Evropu



musculus - Europa

Možné výsledky fylogeografických studií

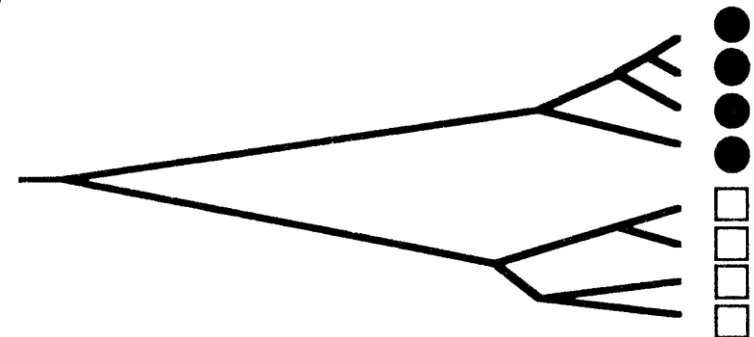
(Avise 2000)

Kategorie I:

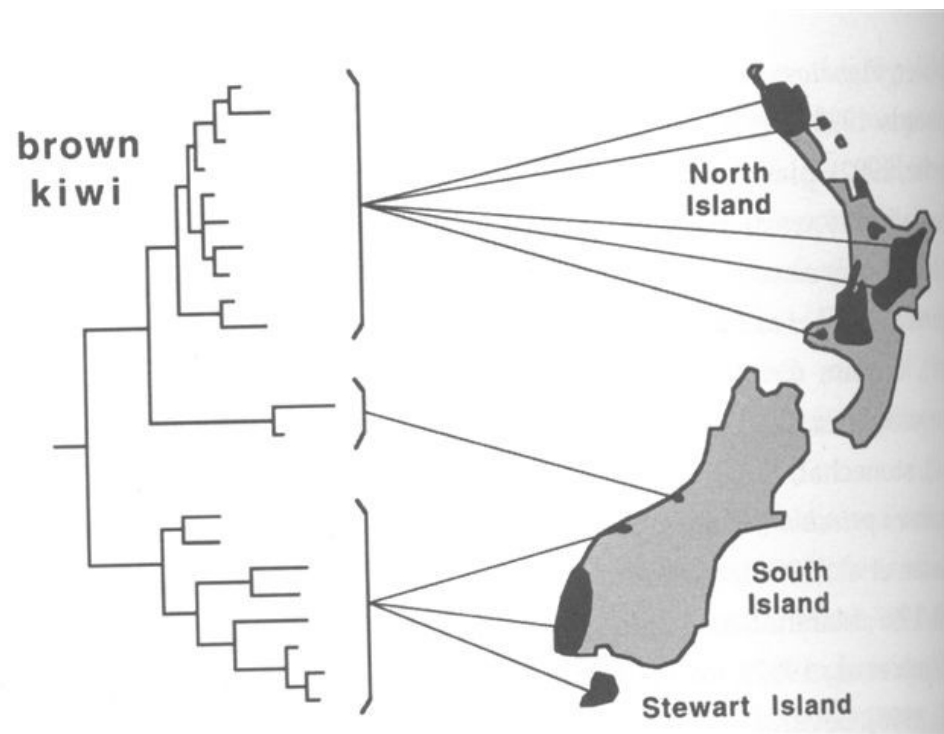
zřetelně oddělené alopatické linie

bariéry toku genů nebo nízká disperze

rozdíly díky sortování linií nebo akumulaci nových mutací

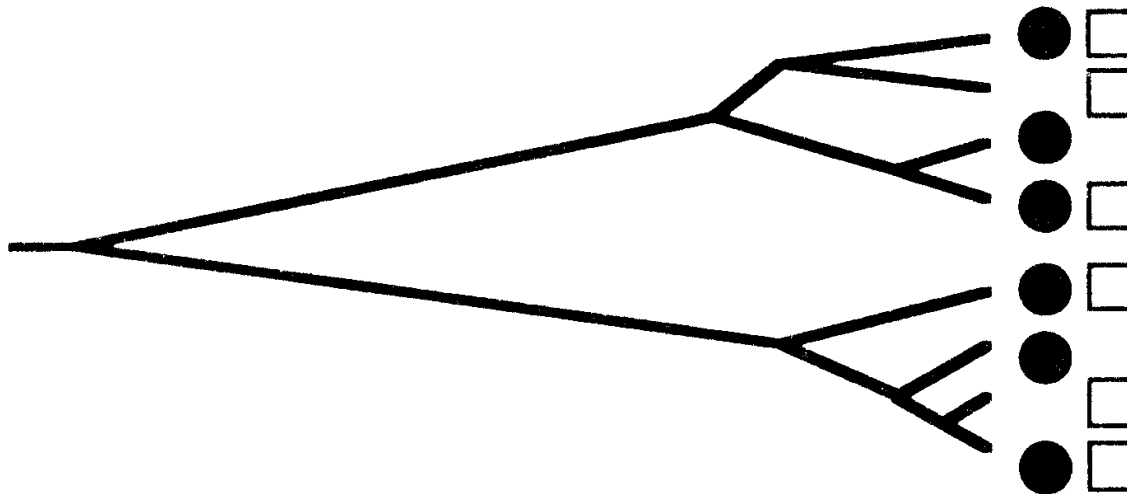


Apteryx australis



Kategorie II:

sympatrické, ale jasně hluboce oddělené linie \Rightarrow sekundární kontakt
dříve oddělených populací



Kategorie III:

alopatrické, málo oddělené linie

blízce příbuzné ale geograficky lokalizované haplotypy

populace v nedávném historickém kontaktu

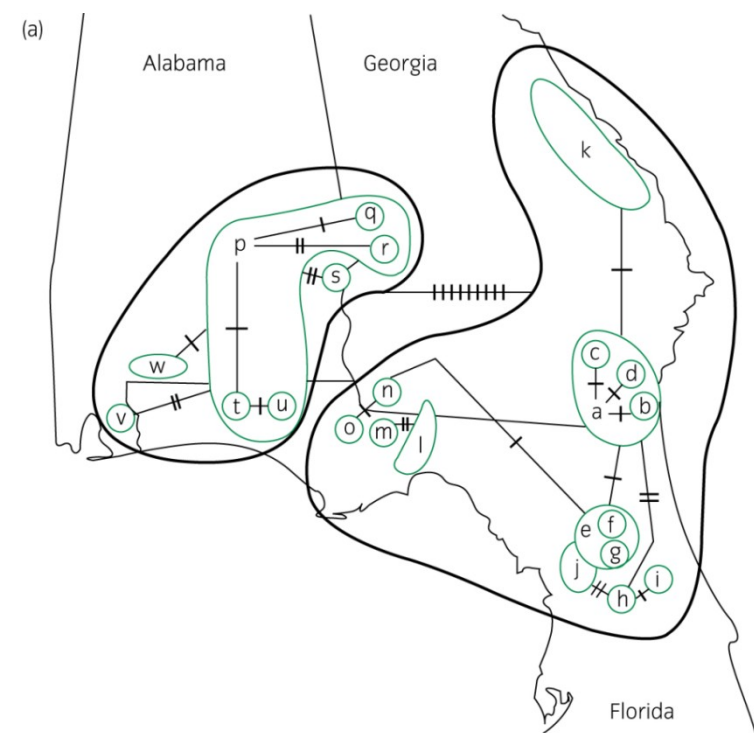
ale: tok genů dostatečně nízký

→ drift a „lineage sorting“ → divergence populací

často:

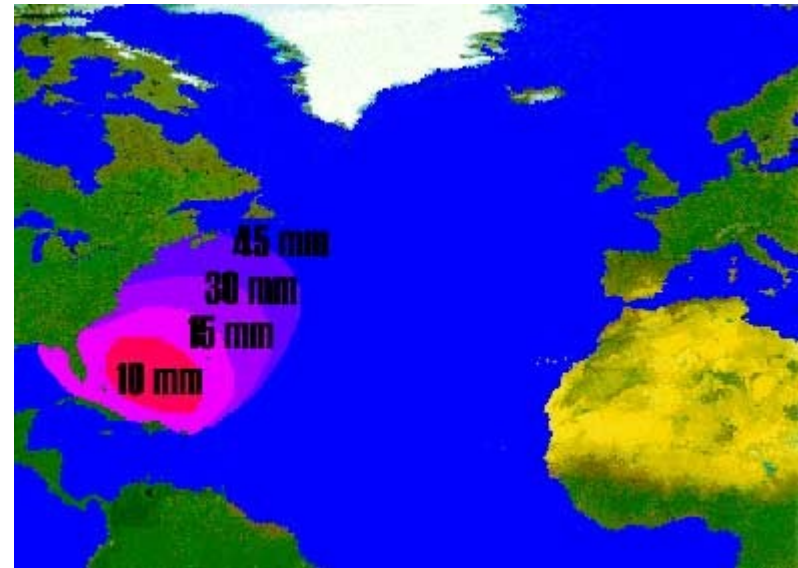
- na větší škále Kategorie I
- na menší škále Kategorie III

př.: *Geomys pinetis*



Kategorie IV:

sympatrické, málo oddělené linie
silný tok genů
absence geografických bariér nebo
recentní expanze



Anguilla rostrata

Náhodná disperze larev

Panmiktické agregace
během tření

Kategorie V:

kombinace III a IV

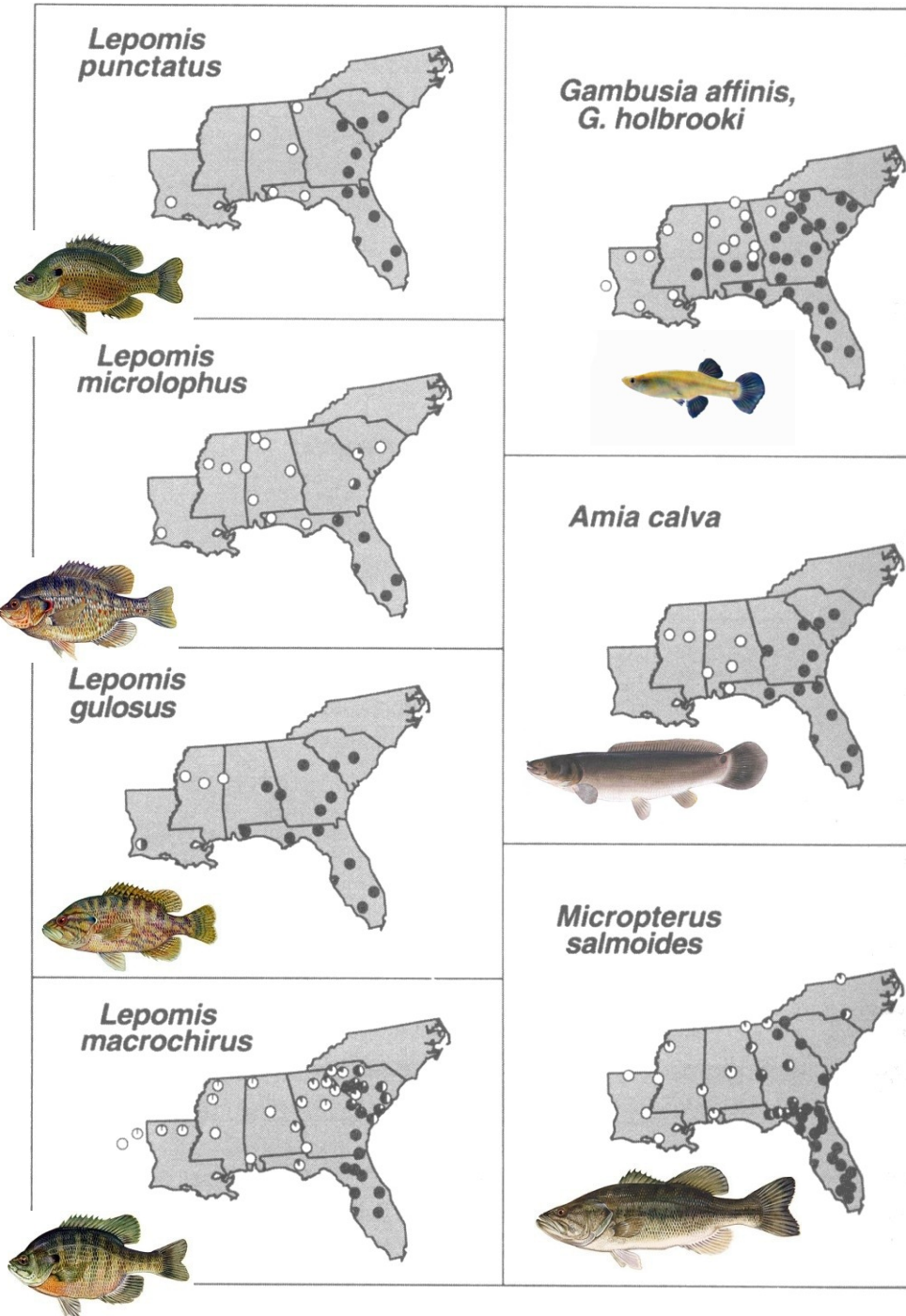
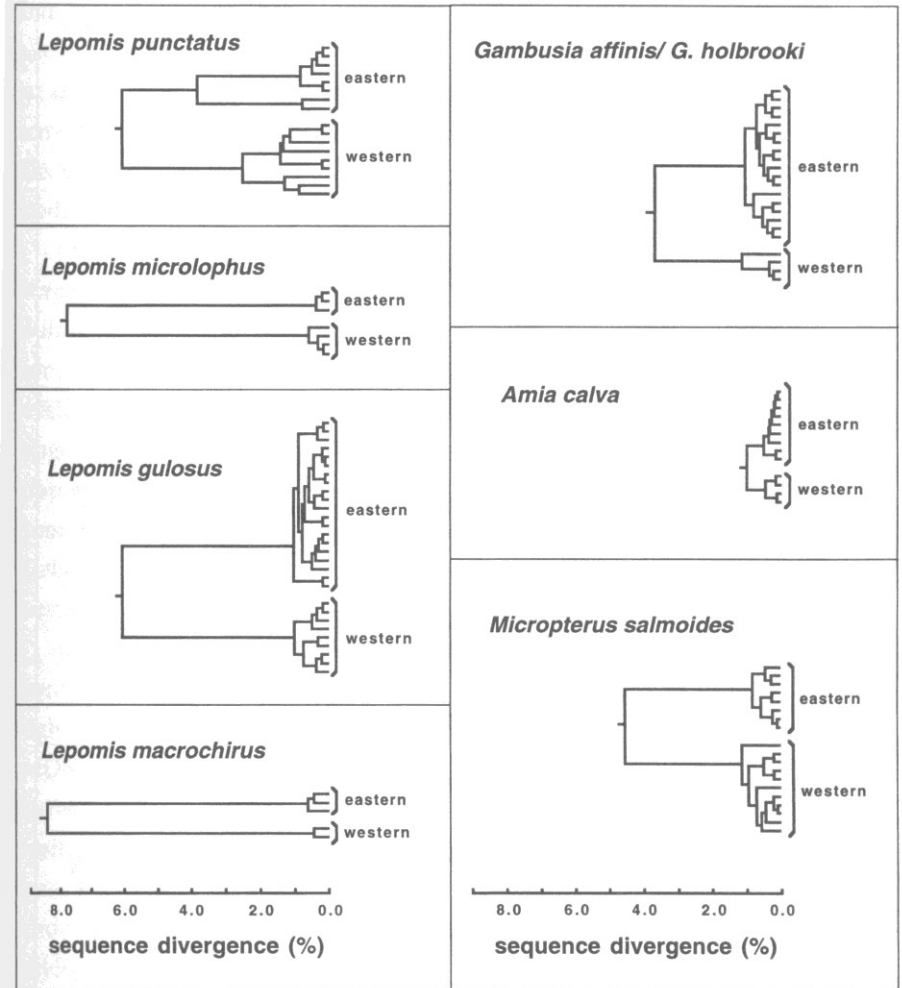
málo oddělené linie

některé linie značně rozšířeny (zřejmě ancestrální), jiné (nové)
geograficky omezeny

jako vhodné znaky je nutné vybrat privátní haplotypy

Genealogické konkordance

Ryby JV USA



Genealogické konkordance

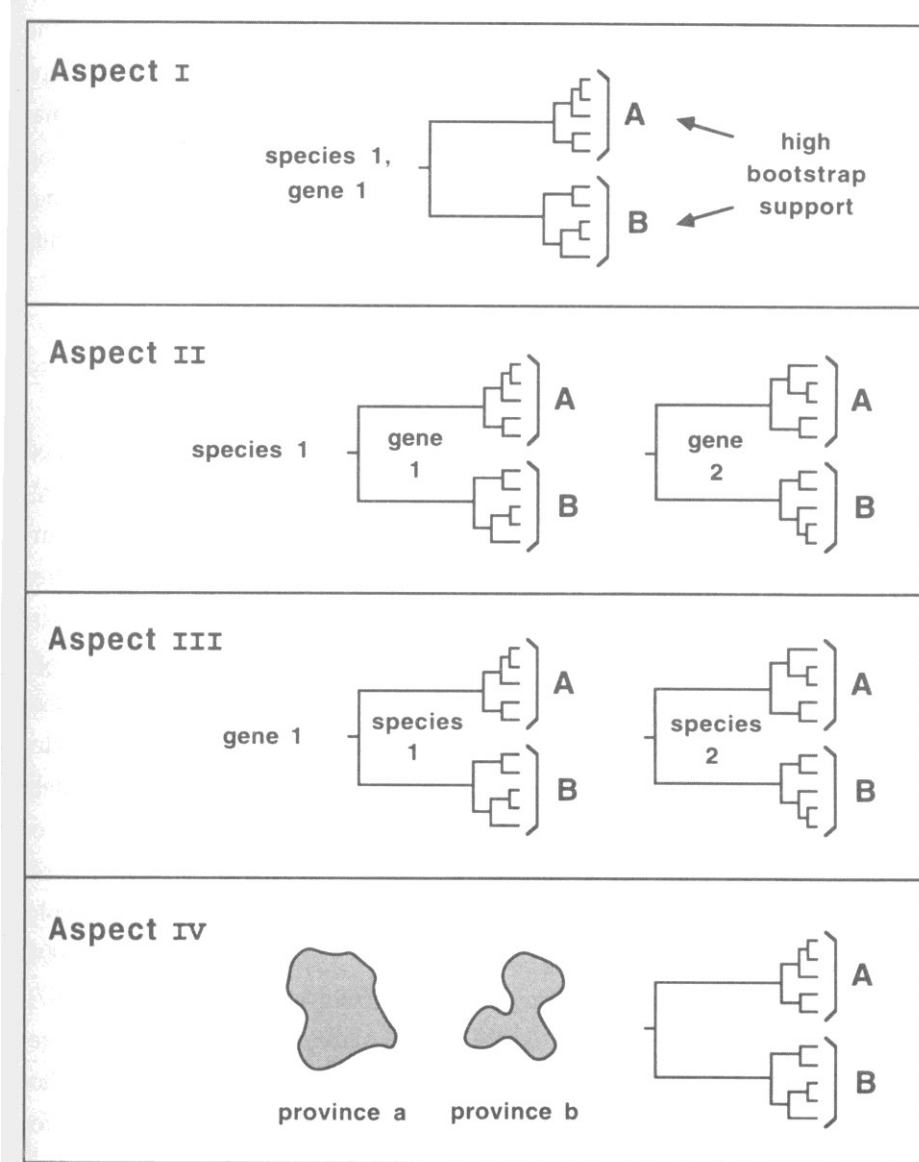
(shody na různých úrovních)

Různé části sekvence genu

Více sekvencí (genů) od stejného druhu

Více druhů ve stejné oblasti

Podpora biogeografických oblastí (více druhů, více oblastí)



Genetické důsledky ledových dob

Refugia (iberské, apeninské, balkánské)

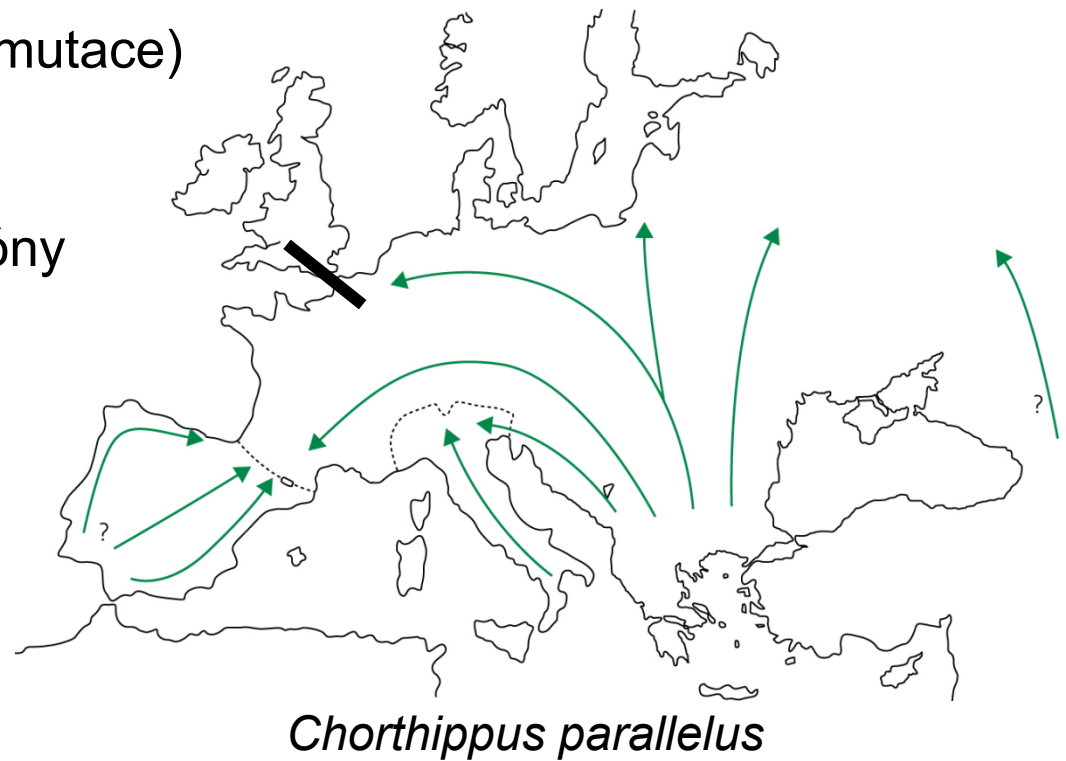
V refugiích malé populace relativně dlouhou dobu



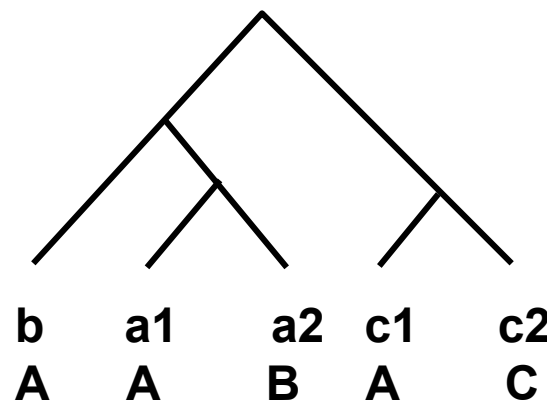
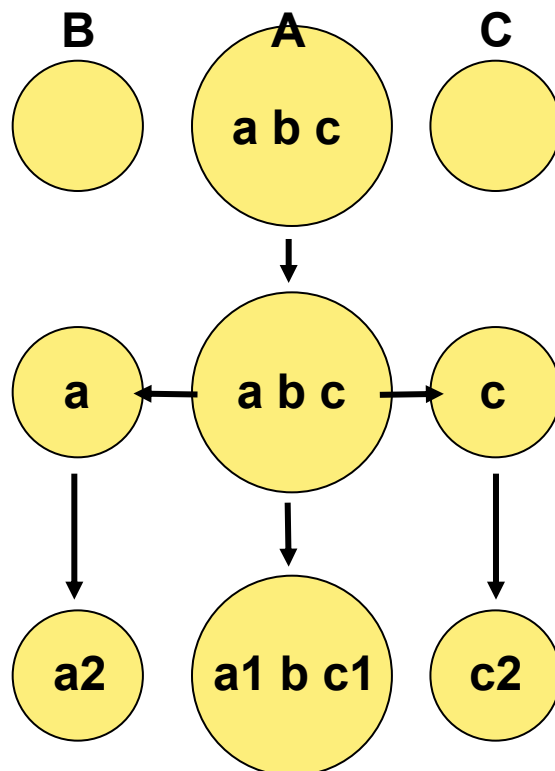
Linneage sorting (případně mutace)

Následné šíření → vnitrodruhové hybridní zóny

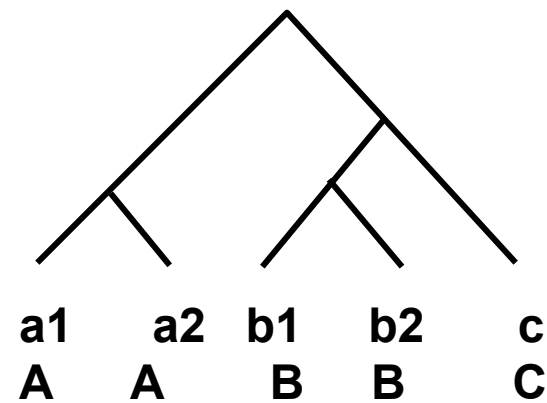
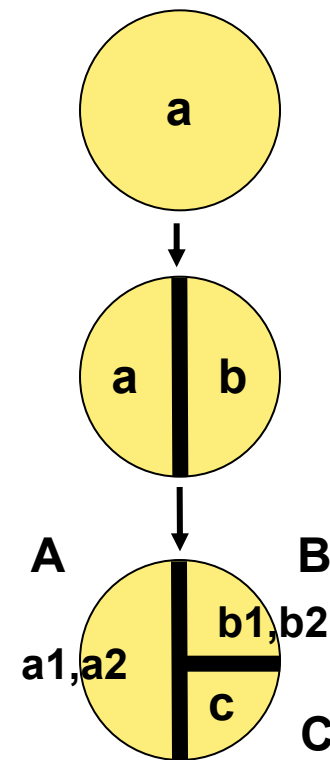
Ale některé druhy měly i severská refugia!



disperze



vikariance



Vztah mezi genetickou strukturou populace, pohlavně-specifickou disperzí a režimy toku genů (Avise 2000)

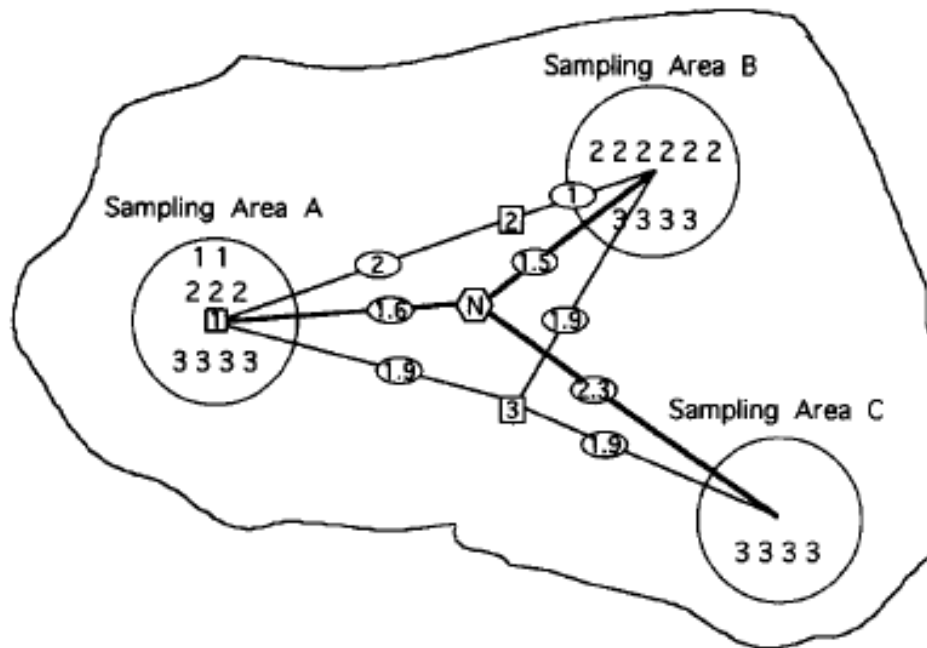
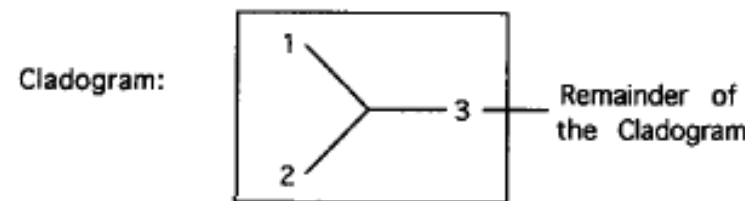
		samičí disperze a tok genů			
		nízké -----→ vysoké			
samčí disperze a tok genů	→ nízké	geografická struktura v:		geografická struktura v:	
	vysoké	mtDNA	ANO	mtDNA	NE
		autozomy	ano	autozomy	ano
		chr. Y	ano	chr. Y	***
		demografická autonomie	ANO	demografická autonomie	***
		geografická struktura v:		geografická struktura v:	
		mtDNA (u samic)	ANO	mtDNA	NE
		autozomy	ne	autozomy	ne
		chr. Y	ne	chr. Y	ne
		demografická autonomie	ANO	demografická autonomie	NE

Nested Clade Analysis (NCA)

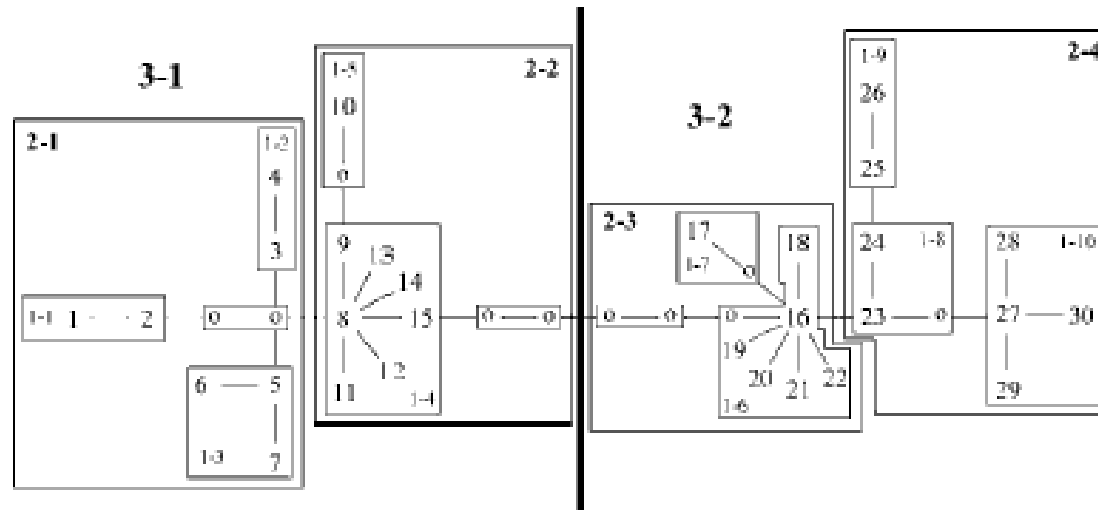
Alan R. Templeton

clade distance (D_c): měří, jak daleko se klad rozšířil

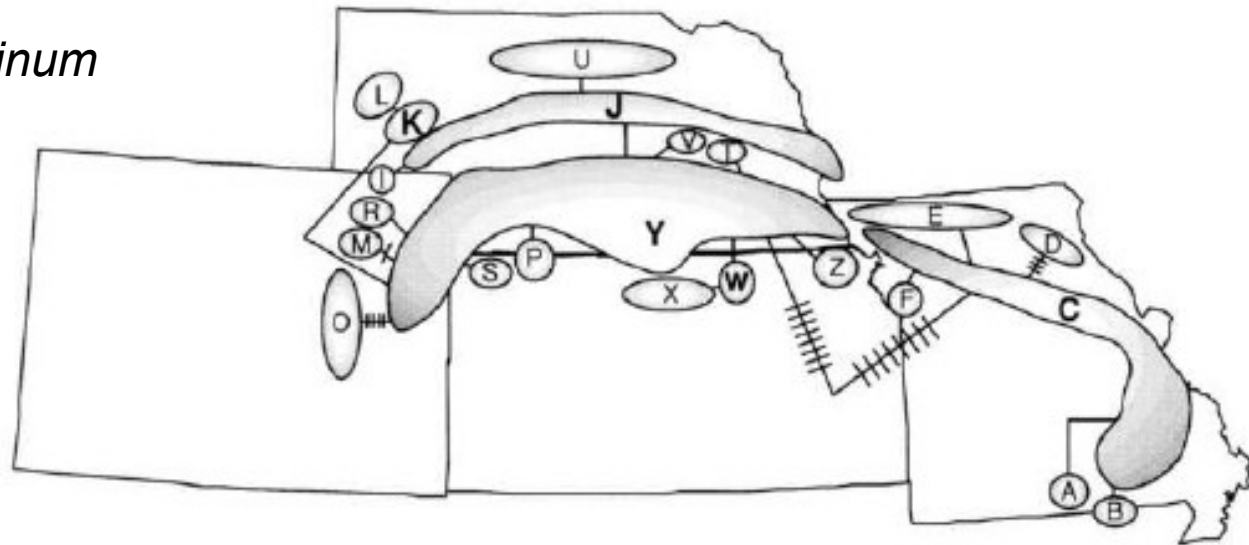
nested clade dist. (D_n): měří, do jaké míry změnil klad svoji polohu ve vztahu ke kladu, ze kterého vzniknul



Nested Clade Analysis (NCA)



Ambystoma tigrinum



programy GeoDis, TCS

Expected patterns under the different models of population structure and historical events

Pattern 1. Restricted gene flow

- a. Significantly small D_s s, primarily for tip clades. Some interior clades with significantly large D_s s.
- b. $\bar{D}_c(I) - \bar{D}_c(T)$ significantly large, where $\bar{D}_c(I)$ is the average clade distance of interior clades within the nested category, and $\bar{D}_c(T)$ is the average clade distance of tip clades.
- c. Average D_s s should increase (and occasionally level off) with increasing clade level in a nested series of clades. If the distances level-off, the null hypothesis of no geographical association should no longer be rejected even though rejected at lower clade levels.
- d. The above patterns also hold for the D_n s unless some gene flow is due to long-distance dispersal events, then significant reversals of the above pattern can occur with the D_n s.

Pattern 2. Range expansion

- a. Significantly large D_s s and D_n s for tip clades, and sometimes significantly small for interior clades under contiguous range expansion, but some tip clades should show significantly small D_s s under long-distance colonization.
- b. $\bar{D}_i(I) - \bar{D}_i(T)$ significantly small for $i = c, n$ for contiguous range expansion and for $i = n$ for long-distance colonization.
- c. The above patterns are not recurrent in the cladogram or are geographically congruent.

Pattern 3. Allopatric fragmentation

- a. Significantly small D_s s, primarily at the higher clade levels. The D_n s at this clade level may suddenly increase rapidly while the D_s s remain restricted, depending upon the geographical configuration of the isolates.
- b. The pattern of distances described in (a) should represent a break or a reversal of the distance pattern established by the lower level nested clades.
- c. Clades showing pattern (a and b) should tend to be connected to the remainder of the cladogram by a larger-than-average number of mutational steps.
- d. The above patterns are not recurrent in the cladogram or are geographically congruent.

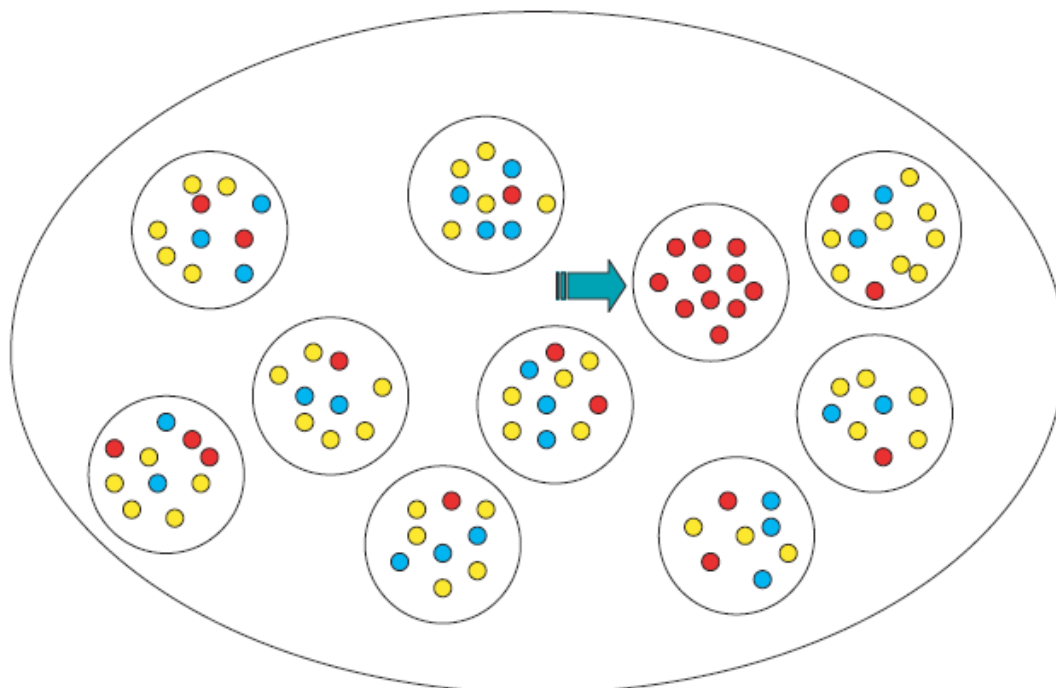
Nested Clade Analysis (NCA)

Problémy:

absence evolučního modelu

simulace: vysoké procento „false positives“ (>75%; Petit 2008)

lokální procesy → zdánlivé expanze...



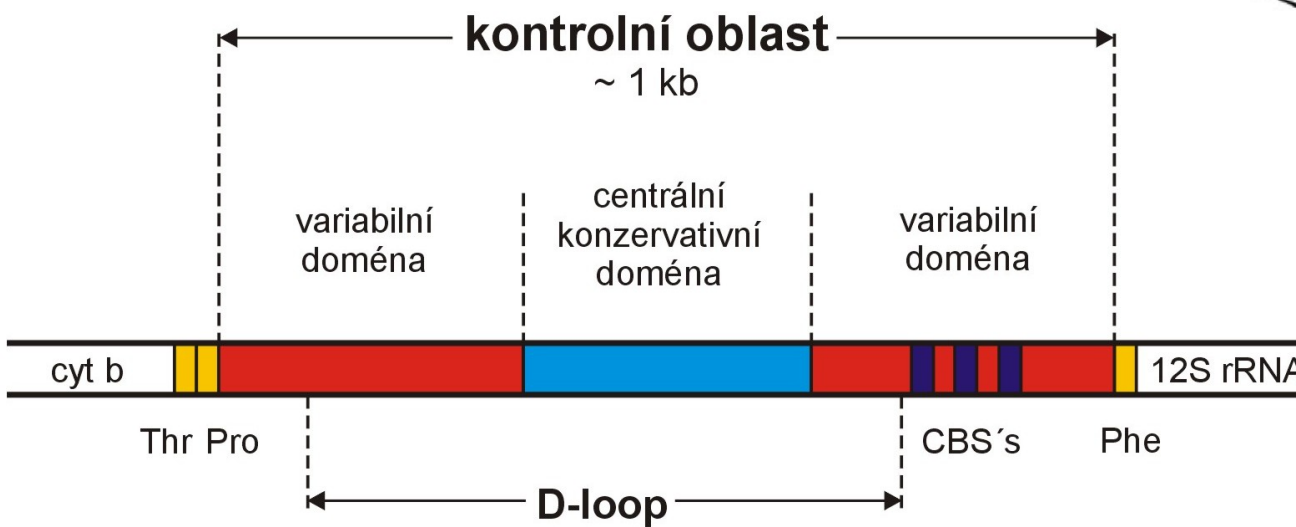
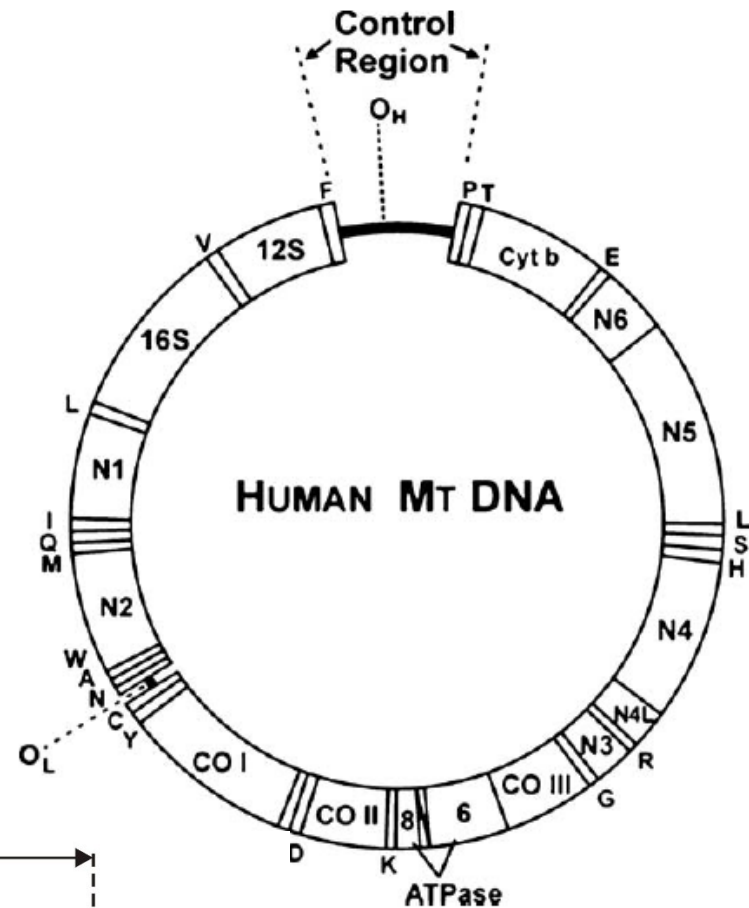
markery:

mtDNA

Y

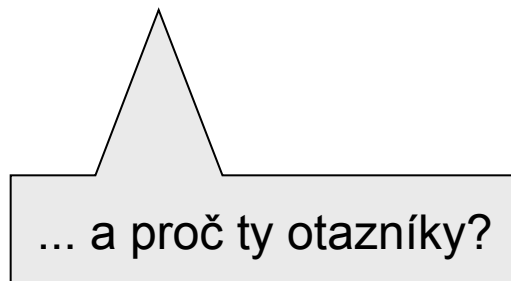
mikrosateli

SNP



Proč je mtDNA výhodná?

- ? Malá (15-20 kb), kruhová molekula
- ? Bez intronů
- ? Minimum nekódujících oblastí
- ? Dědí se jen po jednom rodiči (po matce)
- ? Nerekombinuje
- ? V buňce jen jeden typ v mnoha kopíích
- ? Neutralita
(různé varianty v populaci mají stejnou fitness)



Problémy pro populační genetiku:

Neutralita

Mezidruhový přenos

Nukleární pseudogeny

Biparentální dědičnost

Rekombinace

Neutralita?

vliv variant mtDNA na fitness (experimentální důkazy):

myš (*Mus*)

octomilka (*Drosophila*)

člověk

Mezidruhový přenos:

zajíc ve Španělsku:

existence mtDNA *Lepus timidus* u druhů *L. granatensis*, *L. castroviejoi* a *L. europaeus*

L. timidus však vymizel na konci posledního glaciálu

několikanásobný přenos různých mtDNA linií = „mtDNA capture“

Jaderné pseudogeny mitochondriálního původu = NUMT (Nuclear Mitochondrial DNA)

kopie segmentů mtDNA integrované do jaderné DNA

ztráta funkce

molekulární fosilie

podobnost s původní sekvencí → riziko amplifikace namísto mtDNA
⇒ problém!!

výskyt různý u různých skupin i u různých druhů též skupiny

např. u 7 druhů kočkovitých šelem: numt > 12,5 kb

člověk: 27 numt v linii po oddělení od společného předka se šimpanzem

Jak odhalit numt?

ultracentrifugace (většinou nutný čerstvý vzorek, nebo alespoň hluboce zmražený)
použití tkání s velkým množstvím mitochondrií (např. svaly)

long-range PCR

RT-PCR

elektronická PCR (u druhů se známým genomem)

Rekombinace mtDNA

nutné podmínky:

biparentální dědičnost - fúze mitochondrií

existence proteinového aparátu pro rekombinaci: existuje i u člověka

biparentální dědičnost:

navzdory mýtům, mitochondrie otce obvykle přeneseny do zygoty – tam jsou označeny a následně zlikvidovány (u savců značení provádí jaderné geny otce)
u někt. druhů „paternal leakage“: *Mus, Drosophila, Parus, Homo*

Zbývá zodpovědět:

Frekvence biparentální dědičnosti

Frekvence rekombinací

Jen somatické tkáně?

Dědičnost rekombinantních molekul

Rekombinace s nukleárními pseudogeny?

Mechanismus biparentální dědičnosti a rekombinace

Výjimečné události u živočichů?